

NIKOLA HAJDIN

# TEORIJA POVRŠINSKIH NOSAČA

3. LJUSKE

GRAĐEVINSKI FAKULTET • BEOGRAD

Naučna Knjiga • BEOGRAD

GRAĐEVINSKI FAKULTET UNIVERZITETA U BEOGRADU  
ZAVOD ZA TEHNIČKU MEHANIKU I TEORIJU KONSTRUKCIJA

NIKOLA HAJDIN

# TEORIJA POVRŠINSKIH NOSAČA

3. LJUSKE

GRAĐEVINSKI FAKULTET • BEOGRAD

Naučna knjiga • BEOGRAD

Akademik dr inž. Nikola Hajdin  
TEORIJA POVRŠINSKIH NOSAČA  
3. LJUSKE

Recenzenti:

Prof. dr *Natalija Naerlović-Veljković*, dipl. inž.  
Prof. dr *Miodrag Sćekulović*, dipl. inž.

Izdaje:

Gradevinski fakultet Univerziteta u Beogradu  
Bulevar revolucije 73, Beograd  
IRO, »Naučna knjiga«  
Uzun-Mirkova 5, Beograd

Odobreno za štampu od strane Komisije za izdavačku  
delatnost Gradevinskog fakulteta u Beogradu po preporuci  
Zavoda za tehničku mehaniku i teoriju konstrukcija

Glavni i odgovorni urednik  
Prof. dr *Milan Gojković*

Za izdavača  
*Dragoslav Joković*

Urednik  
*Nikola Dončev*

Tehnički urednik  
*Gordana Krstić*

Priredio za štampu  
Mr *Branislav Pujević*, asistent

Tiraž: 1000 primeraka

Štampa: Štamparija »Bakar« – Bor

Beograd, novembar 1984.

## S A D R Ž A J

### TREĆI DEO

#### LJUSKE

	Strana
UVOD	
1. Definicija i osnovne prepostake .....	1
2. Srednja površ lјuske. Sile u preseku .....	2
BEZMOMENTNA TEORIJA LJUSKI	
1. Bezmomentno naprezanje lјuske .....	9
2. Bezmomentna teorija rotacionih lјuski .....	11
3. Rataciono simetrično opterećenje .....	16
4. Sferna kupola .....	18
5. Konusna lјuska .....	20
6. Rotaciono simetrična deformacija srednje površi rotacione lјuske .....	25
PROIZVOLJNO OPTEREĆENJE ROTACIONE LJUSKE	
1. Antisimetrično opterećenje .....	29
2. Rešenje za sfernu kupolu .....	31
3. Proračun lјuske oblika rotacionog hiperboloida metodom konačnih razlika .....	35
BEZMOMENTNA TEORIJA CILINDRIČNIH LJUSKI	
1. Osnovne jednačine ravnoteže za proizvoljan oblik presečne krive .....	45
2. Kružna cilindrična lјuska .....	46
SAVIJANJE KRUŽNE CILINDRIČNE LJUSKE PRI ROTACIONO SIMETRIČNOM OPTEREĆENJU	
1. Duga cilindrična lјuska .....	55

2. Primer proračuna cilindričnog rezervoara sa kružnom pločom slobodno oslonjenom po konturi .....	62
3. Kratka cilindrična ljska .....	69
4. Cilindrična ljska promenljive debljine .....	74
 TEORIJA SAVIJANJA ROTACIONE LJUSKE PRI ROTACIONO SIMETRIČNOM OPTEREĆENJU	
1. Uslovi ravnoteže .....	82
2. Deformacija ljske .....	84
3. Veze izmedju presečnih sila i deformacije .....	87
4. Sferna kupola opterećena silama po konturi .....	89
5. Aproksimativno rešenje .....	92
6. Sile na konturi sferne ljske .....	96
7. Primer proračuna sferne ljske sa prstenom oslonjene po celoj konturi .....	99

## P R E D G O V O R

Predavanja sadržana u ovoj svesci pod naslovom "ljuske" treći su i poslednji deo predavanja iz Teorije površinskih nosača, koja sam držao na Gradjevinskom fakultetu počev od 1959.godine.

Prva dva dela: Ploče napregnute na savijanje i ploče napregnute u svojoj ravni izašla su kao skripta već nekoliko puta i u poslednjem izdanju u jednoj svesci.

Ta sveska zajedno sa ovim čini celinu i sadrži sva poglavlja ovog predmeta prema postojećem programu.

U Beogradu, 1.11.1984.godine

Nikola Hajdin

## T R E Ć I D E O

### L J U S K E

#### Uvod

#### 1. Definicija i osnovne pretpostavke

Za razliku od ploče ljskom nazivamo površinsku konstrukciju ograničenu sa dve krive površi na ostajanju  $h$  za koje prepostavljamo da je malo u odnosu na ostale dimenzije.

Geometrijsko mesto tačaka, izmedju tih površi, jednakо udaljenih od ovih površi nazvaćemo srednjom površi date ljske.

U izučavanju ljski smatraćemo kao i dosad da je materijal izotropan i da se pokorava generalisanom Hook-ovom zakonu i sem toga da su pomeranja tačaka (usled deformacije ljske) mala u odnosu na debjinu ljske.

Slično kao kod ploča i ljske možemo podeliti na dve velike klase: tanke i debele ljske.

Tankima ćemo nazivati one kod kojih je odnos  $h/R$ , gde je  $R$  radijus krivine srednje površi, mali u odnosu na jedinicu. U tehničkim problemima smatramo da ovaj uslov sa gledišta potrebne tačnosti zadovoljavaju ljske za koje je odnos:

$$\max\left(\frac{h}{R}\right) \leq \frac{1}{20}$$

a u izvesnim slučajevima primenjujemo teoriju tanke ljske i za veće odnose.

Ljuske kod kojih je ovaj odnos veći od navedenog spadaju u klasu debelih ljuski čija je teorija znatno komplikovana, i kojima se mi u ovom kursu nećemo baviti.

Osnovne pretpostavke na kojima se zasniva teorija tih ljuski slične su pretpostavkama za ploče napregnutih na savijanje, i sastoje se u sledećem:

- a) Prava vlakna upravna na srednju površinu ljuske ostaju i posle deformacije prava ne menjajući svoju dužinu, (Kirchoff-Loveova pretpostavka).
- b) Normalni naponi u ravnima paralelnim srednjoj površini zanemaruju se u poređenju sa ostalim naponima.

Primene teorije ljuski su mnogostruke i u različitim oblastima tehnike: u aeronautici, brodogradnji, mašinstvu, građevinarstvu itd.

Potstrek za razradu teorije i njenih primena u gradjevinarstvu ima se dobrom delom zahvaliti armiranom betonu koji je otvorio široko polje za primenu racionalnih konstruktivnih sistema.

Ljuske kao konstrukcije, odnosno kao elementi konstrukcija, izradjene iz različitih materijala, nalaze primenu u mnogim oblastima tehnike. U gradjevinarstvu je čelik kao materijal za ljuske relativno široko zastupljen u konstrukcijama kao što su rezervoari, cevovodi i sl.

## 2. Srednja površ ljuske. Sile u preseku.

Srednju površ ljuske možemo zadati u vektorskom obliku:

$$\vec{r} = \vec{r}(\alpha, \beta), \quad (\text{III.1})$$

gde je  $\vec{r}$  vektor položaja tačke srednje površi i zavisi od proizvoljnih parametara  $\alpha$  i  $\beta$ .

U skalarnom obliku ova jednačina se raspada na tri parametarske jednačine:

$$x = x(\alpha, \beta)$$

$$y = y(\alpha, \beta)$$

$$z = z(\alpha, \beta).$$

(III.2a,b,c)

Sem na ovaj način jednačina srednje površine može, kao jednačina površi u prostoru, biti zadata u obliku:

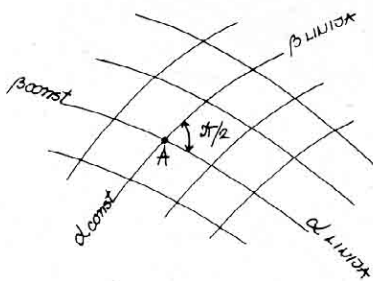
$$F(x, y, z) = 0 \quad (\text{III.3})$$

ili u eksplicitnom obliku

$$z = f(x, y) \quad (\text{III.4})$$

Ako se zadržimo na prvom načinu opisivanja površi onda je na primer za određeno  $\alpha$  i  $\beta$  data jedna tačka na površi , a za  $\beta = \text{const}$  dobijaju se  $\alpha$ -linije na površi i slično tome, za  $\alpha = \text{const}$ ,  $\beta$ -linije.

Svaku tačku na površi , prema tome, možemo shvatiti kao presek dveju linija  $\alpha$  i  $\beta$  . Parametre  $\alpha$  i  $\beta$  nazivamo krivo-linijskim koordinatama, a  $\alpha$  i  $\beta$  -linije koordinatnim linijama (Sl. 1).



( Sl. 1 )

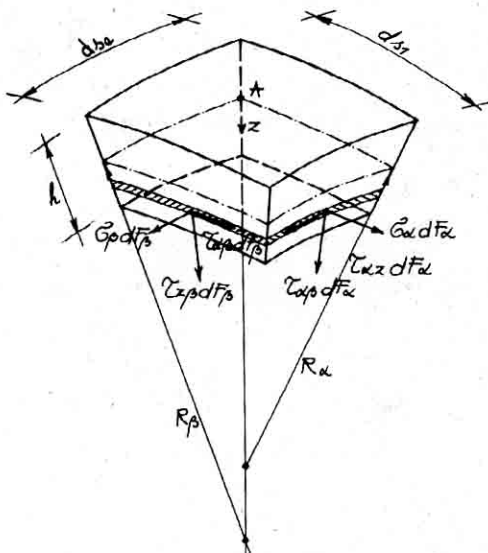
Specijalan slučaj koordinata  $\alpha$  i  $\beta$  imamo kad su  $\alpha$  i  $\beta$  linije medjusobno ortogonalne.

Medju svim mogućim medjusobno ortogonalnim linijama  $\alpha$  i  $\beta$  koje prolaze kroz posmatranu tačku, jedan par ovih linijsa ima tu osobinu da krivina liniije koju dobijamo presekom ravni, koja je upravna na srednju površinu i sadrži tangentu na koordinatnu liniju u posmatranoj tački, ima maksimalnu odnosno minimalnu vrednost.

Ovakve koordinate nazivamo glavnim i dalje ćemo posmatrati ljsuske samo u ovim koordinatama. Položaj bilo koje tačke u ljsuci određen je prema tome koordinatama  $\alpha$  i  $\beta$  i ostanjem te tačke od srednje površine  $z$ .

Iz ljsuske ćemo iseći u okolini tačke  $A$  elemenat presečima upravno na srednju površinu a duž tangenti na linije  $\alpha = \text{const.}$  i  $\alpha + d\alpha = \text{const}$  odnosno  $\beta = \text{const.}$  i  $\beta + d\beta = \text{const.}$  (sl. 2).

Normalne napone na tim površinama obeležimo sa  $\sigma_{\alpha\beta}$  odnosno  $\sigma_{\beta\beta}$ , a komponente totalnog smičućeg napona u tim presečima obeležićemo sa  $\tau_{\alpha\beta}$ ,  $\tau_{\alpha z}$  odnosno  $\tau_{\beta\alpha}$ ,  $\tau_{\beta z}$ .



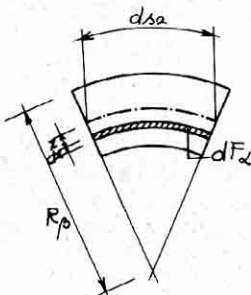
( Sl. 2 )

Sa  $R_\alpha$  i  $R_\beta$  obeleženi su poluprečnici glavnih krivina. Redukcioni momenat i rezultantu svih sila koje deluju na presečnim površinama u odnosu na srednju i površ ljsuske, mereno na jedinicu dužine odgovarajuće koordinatne linije ( $\alpha$  ili  $\beta$ ), razložićemo na komponente u pravcima tangenti na koordinatne linije  $\alpha, \beta$  i u pravcu normale  $Z$ .

Ove komponente glavnog vektora i momenta zvaćemo zajedničkim imenom kao i ranije presečnim silama ili silama u preseku.

Imajući u vidu da je (Sl. 3)

$$dF_\alpha = \frac{ds_2}{R_\beta} (R_\beta - z) dz = \left(1 - \frac{z}{R_\beta}\right) ds_2 dz \quad (\text{III.5a})$$



( Sl. 3 )

i slično tome:

$$dF_\beta = ds_1 \left(1 - \frac{z}{R_\alpha}\right) dz \quad (\text{III.5b})$$

presečne sile u preseku  $\alpha = \text{const}$  date su izrazima:

a) normalna sila:

$$N_{\alpha} = \int_{-h/2}^{+h/2} G_{\alpha} \left(1 - \frac{z}{R_{\beta}}\right) dz \quad (\text{III.6a})$$

b) momenat savijanja:

$$M_{\alpha} = \int_{-h/2}^{+h/2} z G_{\alpha} \left(1 - \frac{z}{R_{\beta}}\right) dz \quad (\text{III.6b})$$

c) smičuća sila:

$$N_{\alpha\beta} = \int_{-h/2}^{+h/2} T_{\alpha\beta} \left(1 - \frac{z}{R_{\beta}}\right) dz \quad (\text{III.6c})$$

d) torzioni momenat:

$$M_{\alpha\beta} = \int_{-h/2}^{+h/2} z T_{\alpha\beta} \left(1 - \frac{z}{R_{\beta}}\right) dz \quad (\text{III.6d})$$

e) transverzalna sila:

$$T_{\alpha} = \int_{-h/2}^{+h/2} T_{\alpha\beta} \left(1 - \frac{z}{R_{\beta}}\right) dz \quad (\text{III.6e})$$

Slično tome u preseku  $\beta = \text{const}$  imamo:

a) normalna sila:

$$N_{\beta} = \int_{-h/2}^{+h/2} G_{\beta} \left(1 - \frac{z}{R_{\alpha}}\right) dz \quad (\text{III.7a})$$

b) momenat savijanja:

$$M_{\beta} = \int_{-h/2}^{+h/2} z G_{\beta} \left(1 - \frac{z}{R_{\alpha}}\right) dz \quad (\text{III.7b})$$

c) smičuća sila:

$$N_{\beta\alpha} = \int_{-h/2}^{+h/2} T_{\beta\alpha} \left(1 - \frac{z}{R_{\alpha}}\right) dz \quad (\text{III.7c})$$

d) torzioni momenat:

$$M_{\beta\alpha} = \int_{-h/2}^{+h/2} z T_{\beta\alpha} \left(1 - \frac{z}{R_\alpha}\right) dz \quad (\text{III.7d})$$

e) transverzalna sila:

$$T_\beta = \int_{-h/2}^{+h/2} T_{\beta\alpha} \left(1 - \frac{z}{R_\alpha}\right) dz \quad (\text{III.7e})$$

Treba primetiti da i pored konjugovanosti smičućih napona

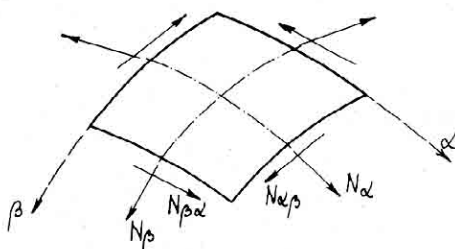
$$T_{\alpha\beta} = T_{\beta\alpha}$$

u opštem slučaju su smičuće sile  $N_{\alpha\beta}$  i  $N_{\beta\alpha}$  a isto tako i torzioni momenat  $M_{\alpha\beta}$  i  $M_{\beta\alpha}$  medjusobno različiti

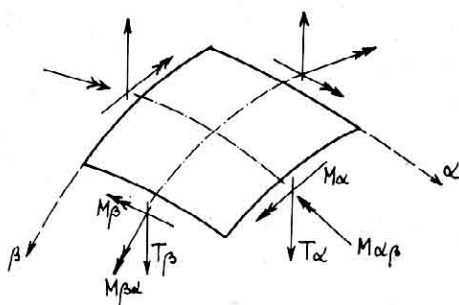
$$N_{\alpha\beta} \neq N_{\beta\alpha}$$

$$M_{\alpha\beta} \neq M_{\beta\alpha}$$

Na (Sl. 4) prikazani su pozitivni pravci sila u preseku koje deluju u tangencijalnoj ravni na srednju površ i u odgovarajućem preseku  $\alpha = \text{const}$  odn.  $\beta = \text{const}$ , a na (Sl. 5) momenati savijanja, torzioni momenti i transverzalne sile



( Sl. 4 )



( Sl. 5 )

Sem unutrašnjih sila na prikazani elemenat isečen iz ljske deluje i spoljašnje opterećenje.

Za rešenje problema ljske stoje nam na raspolaganju 6 uslova ravnoteže, koji se mogu postaviti za jedno telo u prostoru. Međutim ukupan broj nepoznatih sila u preseku ravan je deset, pa je problem određivanja naprezanja statički neodređen i za njegovo rešenje moramo posmatrati i deformaciju ljske.

## BEZMOMENTNA TEORIJA LJUSKI

### 1. Bezmomentno naprezanje lјuske

Ako se u svim presecima lјuske javljaju samo sile  $N_x$ ,  $N_{y1}$ ,  $N_{y2}$  i  $N_3$ , koje leže, kako smo naznačili, u tangencijalnoj ravni na srednju površ, onda takvo naprezanje nazivamo bezmomentnim ili membranskim naprezanjem.

Ovakva vrsta naprezanja javlja se u svakom slučaju ako je lјuska tako tanka da ne poseduje nikakvu otpornost na savijanje (svršeno savitljiva lјuska - membrana). Međutim tako savršeno savitljiva lјuska nije u stanju da primi sile pritiska, zbog svoje nestabilnosti (izbočavanja) i može se upotrebiti kao konstrukcija samo za slučaj da u svim presecima vlada zatezanje.

Međutim i kod lјuski, male debljine ali sa izvesnom konačnom krutošću na savijanje, moguće je takvo naprezanje pri kom bi se javile samo membranske sile.

Za takvo stanje naprezanja moraju biti ispunjeni izvesni uslovi, jer se ono ustvari javlja kao specijalan slučaj opisanog naprezanja pri kom se javljaju i ostale sile u preseku.

To su uglavnom sledeći uslovi:

- Debljina lјuske mora da je mala tako da je odnos  $h/R$  u poređenju sa jedinicom takav da se može zanemariti.
- Srednja površina lјuske mora biti glatka.
- Opterećenje lјuske mora biti blago promenljivo i bez skokova.
- Oslanjanje lјuske mora biti tako da se na krajevima javljaju samo membranske sile.

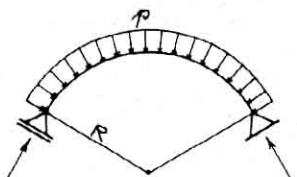
Sem ovog, da bi jedno membransko stanje naprezanja bilo stvarno moguće, mora i deformacija računata na bazi određenih presečnih sila biti jednoznačno određena.

Ove uslove nažalost u našim konstrukcijama nije moguće vrlo često ostvariti, naročito u pogledu oslanjanja i opterećenja.

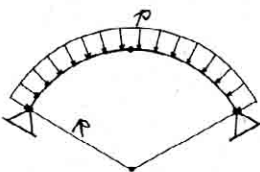
Da bi malo razjasnili membransko naprezanje ljske poslužićemo se analizom lučnog linijskog nosača.

Poznato je, naime, da se u sistemu prikazanom na (Sl. 6a) i u trozglobnom luku (Sl. 6b) čija je osovina deo kruga, za radijalno opterećenje javljaju samo normalne sile:

$$N_e = pR$$



(Sl. 6a)



(Sl. 6b)

Za ravnomerno radijalno opterećenje i za usvojen oblik osovine luka naprezanje luka je "membransko", jer se ne javlja momenti ni transverzalne sile.

Za razliku od linijskih sistema kod kojih je moguće za izabran oblik osovine naći samo jedno opterećenje za koje se javlja membransko naprezanje, kod ljski je to obično moguće za više vrsta opterećenja.

Bezmomentna ili membranska teorija ljski, bez obzira na njeno ograničeno važenje ima svoj značaj.

U izvesnom broju slučajeva ona daje zadovoljavajuće rešenje za praksu, a u većem broju slučajeva, kad se membransko rešenje ne može prihvati, ono pruža prvi korak za opšte rešenje problema odnosno za tzv. teoriju savijanja ili momentnu teoriju ljski.

Na kraju, sa gledišta matematske aparature i jednostavnosti pojedinih rešenja, membranska teorija je znatno prostija od teorije savijanja ljski. Broj presečnih sila smanjuje se

na 4, odnosno zanemarujući u izrazima za  $N_{\alpha\beta}$  i  $N_{\beta\alpha}$  članove  $Z/R_\alpha$  i  $Z/R_\beta$ , u stvari svodi na svega tri nepoznate presečne sile:  $N_\alpha$ ,  $N_\beta$  i  $N_{\alpha\beta} = N_{\beta\alpha}$ . Iz uslova ravnoteže sila koje napađaju elemenat isečen iz ljeske moguće je sada s obzirom da se broj uslova ravnoteže svodi na 3, odrediti sve presečne sile. Na taj način zadatak postaje statički određen.

U daljem izlaganju membranske teorije ograničićemo se na odredjene i sa praktičnog gledišta najvažnije forme ljeski.

## 2. Bezmomentna teorija rotacionih ljeski

### a) Geometrija ljeske i sile u preseku

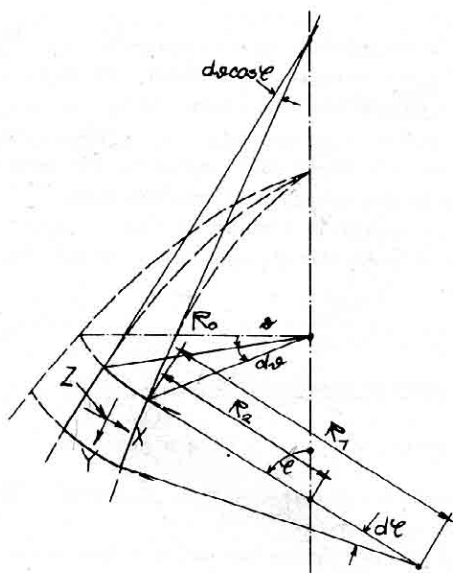
Rotaciona ljeska je ona čija je srednja površ proizvoljna rotaciona površ.

Ova površina nastaje obrtanjem ravne krive linije oko jedne prave. Linije glavnih krivina za rotacionu ljesku su njeni meridijani i paralelni krugovi. Meridijalne linije dobijamo presekom srednje površine i ravni koja sadrži osovinu ljeske, a paralelni krugovi stoje na ove upravno.

Za krivolinijske koordinate rotacione ljeske izabratćemo, shodno prethodnom ugao  $\varphi$  koji zaklapa normalu na površ sa osovinom ljeske (Sl. 7) i ugao  $\psi$  koji određuje položaj tačke na odgovarajućem paralelnom krugu.

Sa  $R_1$  obeležen je radijus krivine meridijana, sa  $R_2$  drugi radijus krivine koji je jednak duži na normali izmedju srednje površi i osovine ljeske. Poluprečnik paralelnog kruga obeležen je sa  $R_0$ .

Posmatraćemo elemenat ljeske čija je srednja površ omedjena meridijanima  $\varphi$  i  $\varphi + d\varphi$  i paralelnim krugovima  $\psi$  i  $\psi + d\psi$ . Strane ovog elementa su upravne na srednju površ. Na dati elemenat deluju odgovarajuće presečne sile  $N_y$ ,  $N_{y\varphi}$ ,  $N_{\varphi\psi}$  i spoljno opterećenje čiju ćemo komponentu u pravcu tangente na paralelni krug, obeležiti sa  $X$ , u pravcu tangente na meridijan sa  $Y$ , a u pravcu unutrašnje normale sa  $Z$ .



( Sl. 7 )

Sile koje deluju na naspramnim stranama elementa (Sl. 8) razlikovaće se za diferencijalne veličine.

Tako na primer na strani  $\varphi = \text{const.}$  imamo sile

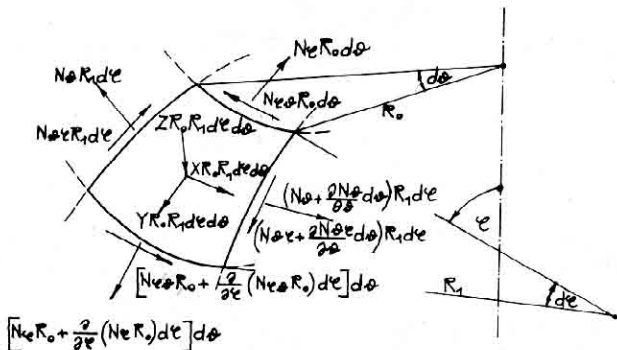
$$N_{x\varphi} R_i dy \quad i \quad N_{y\varphi} R_i dy$$

a na strani  $\varphi + d\varphi = \text{const.}$ :

$$(N_x + \frac{\partial N_x}{\partial \varphi} d\varphi) R_i dy \quad i \quad (N_{y\varphi} + \frac{\partial N_{y\varphi}}{\partial \varphi} d\varphi) R_i dy$$

a zatim na strani  $\varphi = \text{const.}:$

$$N_x R_i dy \quad i \quad N_{y\varphi} R_i dy$$



( sl. 8 )

Pri prelasku od strane  $\psi = \text{const}$  na stranu elementa  $\psi + d\psi = \text{const}$  menjaće se ne samo presečne sile već i dužina linijskog elementa  $R_0 d\sigma$ , pa dobijamo:

$$\left[ N_\psi R_0 + \frac{\partial}{\partial \psi} (N_\psi R_0) d\psi \right] d\sigma$$

$$\left[ N_{\psi\varphi} R_0 + \frac{\partial}{\partial \psi} (N_{\psi\varphi} R_0) d\psi \right] d\sigma$$

#### b) Uslovi ravnoteže

U uslov ravnoteže svih sila u pravcu tangente na paralelni krug ulaze sledeće sile:

$$\frac{\partial N_{\psi\varphi}}{\partial \psi} R_1 d\psi d\sigma; \quad \frac{\partial}{\partial \psi} (N_{\psi\varphi} R_0) d\psi d\sigma; \quad X_{R_0,R_1} d\psi d\sigma$$

Sem ovog smičuće sile na stranama  $\psi = \text{const}$  i  $\psi + d\psi = \text{const}$  nisu paralelne i njihovi pravci zatvaraju ugao čija je veličina (sl. 7)  $d\psi \cos \psi$ . Projektovanjem ovih sile na pravac tangente (sl. 9) na paralelni krug, zanemarujući male veličine višeg reda, dobijamo  $N_{\psi\varphi} R_1 \cos \psi d\psi d\sigma$ .



( Sl. 9 )

Ispisujući sada ovaj uslov ravnoteže, posle skraćenja sa  $d\varphi d\vartheta$  dobijamo:

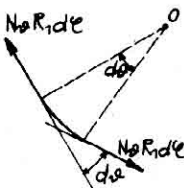
$$\frac{\partial N_{\varphi} R_1}{\partial \vartheta} + \frac{\partial}{\partial \vartheta} (N_{\varphi \vartheta} R_0) + N_{\varphi \vartheta} R_1 \cos \vartheta + X R_0 R_1 = 0 \quad (\text{III})$$

U uslov ravnoteže sila u pravcu tangente na meridijan javiće se sledeće sile:

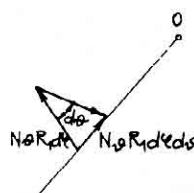
$$\frac{\partial}{\partial \vartheta} (N_{\varphi} R_0) d\varphi d\vartheta ; \quad \frac{\partial N_{\varphi \vartheta} R_1}{\partial \vartheta} d\varphi d\vartheta ; \quad Y R_0 R_1 d\varphi d\vartheta$$

Osim toga će normalne sile na stranama  $\vartheta = \text{const}$  i  $\vartheta + d\vartheta = \text{const}$ , zanemarujući male veličine višeg reda, dati jednu projekciju u pravcu upravnog na osovinu ljsuske (Sl.10a,b) čija je veličina jednak:

$$N_{\varphi} R_1 d\varphi d\vartheta$$

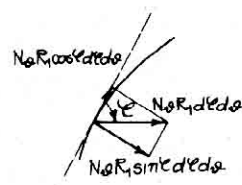


a)



b)

( Sl. 10 )



( Sl. 11 )

Projekcija ove rezultante na pravac tangente na meridijalnu(Sl. 11) krivu ravna je:

$$N_v R_1 \cos \varphi dy d\varphi$$

Sabiranjem ovih sila i izjednačenjem tog zbira sa nulom, posle kraćenja sa  $dy d\varphi$  dobijamo:

$$\frac{\partial}{\partial \varphi} (N_v R_1) + \frac{\partial N_v}{\partial v} R_1 - N_v R_1 \cos \varphi + Y R_0 R_1 = 0 \quad (\text{III.9})$$

Projektovanjem normalnih sila na stranama  $\varphi$  i  $\varphi + dy$  (sa zanemarenjem malih veličina višeg reda) na pravac normale dobijamo:

$$N_v R_1 dy d\varphi.$$

Projektovanjem preostale sile  $N_v R_1 dy d\varphi$  (Sl. 11) na pravac normale nalazimo

$$N_v R_1 \sin \varphi dy d\varphi.$$

Opterećenje ljske daje silu

$$Z R_0 R_1 dy d\varphi.$$

Sabiranjem ovih sila i izjednačavanjem tog zbira sa nulom, deleći pri tome celu jednačinu sa  $R_0 R_1 dy d\varphi$  dobijamo:

$$\frac{N_v}{R_1} + \frac{N_v}{R_2} + Z = 0 , \quad (\text{III.10})$$

gde je

$$R_0 = R_2 \sin \varphi .$$

### 3. Rotaciono simetrično opterećenje

Ako je opterećenje ljske rotaciono simetrično, onda presečne sile neće biti zavisne od  $\varphi$ . Tada je

$$X=0 \quad N_{\varphi\varphi} = N_{\vartheta\vartheta} = 0$$

i izvedene jednačine svode se na dve obične diferencijalne jednačine:

$$\frac{d}{d\varphi}(N_{\varphi}R_0) - N_{\vartheta}R_1 \cos\varphi + YR_0R_1 = 0$$

(III.11a,b)

$$\frac{N_{\varphi}}{R_1} + \frac{N_{\vartheta}}{R_2} + Z = 0.$$

Iz druge jednačine (III.11b) dobijamo:

$$N_{\vartheta} = -R_2 \left( Z + \frac{N_{\varphi}}{R_1} \right).$$

(III.12)

Unošenjem ove vrednosti u prvu jednačinu (III.11a) nalazimo:

$$\frac{d}{d\varphi}(N_{\varphi}R_2 \sin\varphi) + N_{\varphi}R_2 \cos\varphi + YR_0R_1 + ZR_2R_1 \cos\varphi = 0.$$

Množeći ovu jednačinu sa  $\sin\varphi$  imamo:

$$\frac{d}{d\varphi}(N_{\varphi}R_2 \sin^2\varphi) + N_{\varphi}R_2 \sin\varphi \cos\varphi = -R_1R_2(Y \sin\varphi + Z \cos\varphi) \sin\varphi$$

Možemo primetiti da leva strane jednačine pretstavlja u stvari izvod izraza  $(N_{\varphi}R_2 \sin^2\varphi)$ , pa je

$$\frac{d}{d\varphi}[N_{\varphi}R_2 \sin^2\varphi] = -R_1R_2(Y \sin\varphi + Z \cos\varphi) \sin\varphi.$$

Integracijom nalazimo:

$$N_{\varphi} = -\frac{1}{R_2 \sin^2\varphi} \int R_1R_2(Y \sin\varphi + Z \cos\varphi) \sin\varphi d\varphi + C$$

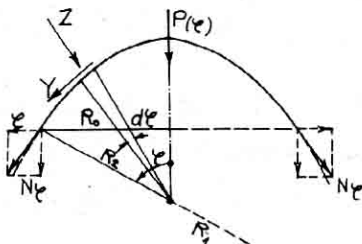
(III.13a)

ili ako uzmemu u obzir da je

$$R_2 \sin\varphi = R_0,$$

$$N_\varphi = -\frac{1}{R_0 \sin \varphi} \left[ \int R_1 R_0 (Y \sin \varphi + Z \cos \varphi) d\varphi + C \right]. \quad (\text{III.13b})$$

Umesto da podjemo od uslova ravnoteže (III.11a,b) možemo za ovako jednostavan slučaj naprezanja doći do izraza za sile  $N_\varphi$  iz uslova ravnoteže sila koje napadaju deo ljske iznad proizvoljno uočenog paralelnog kruga  $\gamma = \text{const.}$



( Sl. 12 )

Rezultantu svih spoljnih sila iznad preseka  $\gamma = \text{const}$  obeležićemo sa  $P(\gamma)$ .

Zbir svih sила u pravcu osovine rotacije daje

$$2\pi R_0 N_\varphi \sin \varphi + P(\gamma) = 0$$

odnosno

$$N_\varphi = -\frac{P(\gamma)}{2\pi R_0 \sin \varphi} \quad (\text{III.14})$$

Komponenta opterećenja u pravcu osovine rotacije jednaka je

$$Y \sin \varphi + Z \cos \varphi$$

Integraljenjem na odsečenom delu ljske dobijamo

$$P_y = 2\pi \int_0^y R_o R_1 (Y \sin \varphi + Z \cos \varphi) d\varphi \quad (\text{III.15})$$

i konačno na osnovu (III.14) isti izraz za  $N_y$  kao i ranije:

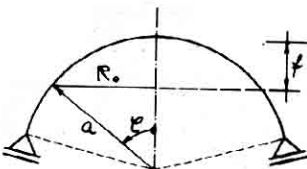
$$N_y = -\frac{1}{R_o \sin \varphi} \left[ \int_0^y R_1 R_o (Y \sin \varphi + Z \cos \varphi) d\varphi \right] \quad (\text{III.16})$$

pri čemu  $\frac{C}{R_o \sin \varphi}$  predstavlja vrednost sile  $N_y$  za  $\varphi = 0$ .

#### 4. Sferna kupola

Za sfernu kupolu je:

$$R_2 = R_1 = a \\ R_o = a \sin \varphi ,$$



( sl. 13 )

pa je

$$P_y = +2\pi \int_0^y a^2 (Y \sin \varphi + Z \cos \varphi) \sin \varphi d\varphi .$$

za opterećenje sopstvenom težinom  $g$  imamo

$$Y = g \sin \varphi , \quad Z = g \cos \varphi$$

i dalje

$$P(\varphi) = +2\pi g a^2 \int_0^\varphi \sin \varphi d\varphi = +2\pi g a^2 (1 - \cos \varphi).$$

Za presečne sile dobijamo

$$N_y = -ga \frac{1-\cos\varphi}{\sin^2\varphi} = -\frac{ga}{1+\cos\varphi} \quad (\text{III.17a})$$

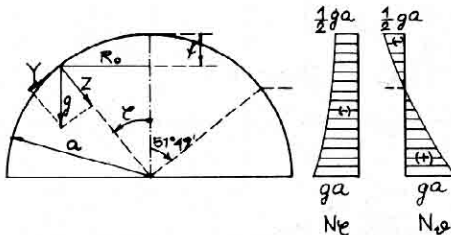
$$N_x = -ga \left( \cos\varphi - \frac{1}{1+\cos\varphi} \right) \quad (\text{III.17b})$$

za  $\varphi=0$  (teme) dobijamo :

$$N_y = N_x = -\frac{1}{2}ga,$$

a za  $\varphi=\pi/2$  :

$$N_y = -N_x = -ga$$



( sl. 14 )

Izraz u zagradi za silu  $N_x$  menja znak za  $\varphi=51^\circ 49'$ . Iznad toga kruga sile  $N_x$  (sile u horizontalnom prstenu) su sile pritiska a ispod toga sile zatezanja (Sl. 14). Drugim rečima za kupole kod kojih se traži da usled sopstvene težine nema napona zatezanja (na primer iz neamiranog betona) ugao  $\varphi$  ne bi trebao da bude veći od  $51^\circ 49'$ .

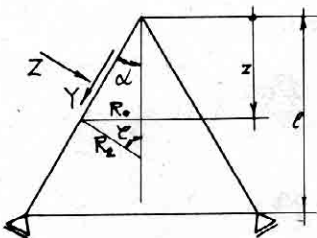
5. Konusna ljudska

za konusnu ljudsku ugao  $\gamma$  je konstantan (sl. 15)

$$\gamma = \pi/2 - \alpha .$$

Osim toga je

$$R_1 = \infty ; R_2 = \frac{R_0}{\cos \alpha} ; R_0 = Z \operatorname{tg} \alpha ; R_1 d\gamma = \frac{dz}{\cos \alpha}$$



( sl. 15 )

Na ostanju  $Z$  od vrha imaćemo za rezultantu  $P(z)$  sledeći izraz

$$P(z) = 2\pi \frac{\operatorname{tg} \alpha}{\cos \alpha} \int_0^Z (Y \cos \alpha + Z \sin \alpha) dz \quad (\text{III.18})$$

Za sopstvenu težinu konusne ljudske konstantne debljine (sa vertikalnom osovinom) dobijamo

$$Y \cos \alpha + Z \sin \alpha = g (\cos^2 \alpha + \sin^2 \alpha) = g ,$$

pa je

$$P(z) = 2\pi g \frac{\operatorname{tg} \alpha}{\cos \alpha} \int_0^z Z dz = \pi g \frac{\operatorname{tg} \alpha}{\cos \alpha} Z^2$$

ili

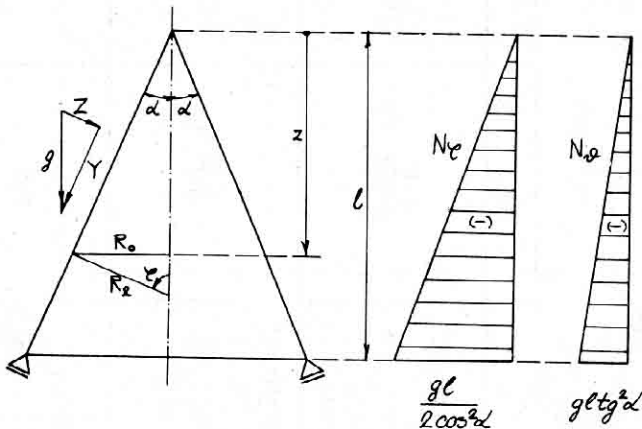
$$P(z) = \pi g \frac{R_o z}{\cos \alpha}$$

za  $N_y$  i  $N_x$  nalazimo

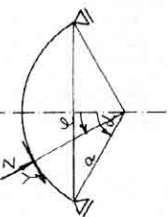
$$N_y = -\frac{P(z)}{2\pi R_o \cos \alpha} = -\frac{g z}{2 \cos^2 \alpha} \quad (\text{III.19a})$$

i

$$N_x = -R_o z = -\frac{z \operatorname{tg} \alpha}{\cos \alpha} g \sin \alpha = -g z \operatorname{tg}^2 \alpha \quad (\text{III.19b})$$



( sl. 16 )



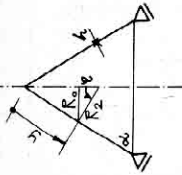
SFERNA LJUSTIKA

Tablica vrednosti  $N_e$ ,  $N_\vartheta$ ,  $\Delta R$ ,  $\chi$

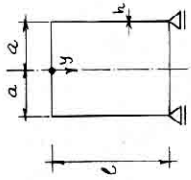
$N_e$	$N_\vartheta$	$\Delta R$	$\chi$
$-\frac{g \cdot a}{1 + \cos \vartheta}$	$-g \cdot a (\cos \vartheta - \frac{1}{1 + \cos \vartheta})$	$\frac{a^2 \rho \sin \vartheta}{E h} \left( \cos \vartheta - \frac{1 + \nu}{1 + \cos \vartheta} \right)$	$-\frac{g \cdot a}{E h} \sin \vartheta (2 + \nu)$
$-\frac{a \cdot \rho}{2}$	$-\frac{a \cdot \rho}{2} \cos 2\vartheta$	$\frac{a^2 \rho}{E h} \sin \vartheta \left[ \cos^2 \vartheta - \frac{1 + \nu}{2} \right]$	$-\frac{a \cdot \rho}{E h} (3 + \nu) \sin^2 \vartheta$
$-\frac{a \cdot \rho}{2}$	$-\frac{a \cdot \rho}{2}$	$-\frac{a^2 \rho \cdot \sin \vartheta}{2 E h} (1 - \nu)$	0

KONUSNA LJUSKA

Tablica vrednosti  $N_y$ ,  $N_s$ ,  $\Delta R$ ,  $\chi$



$N_y$	$N_s$	$\Delta R$	$\chi$
$-\frac{g y}{2.5m\alpha}$	$-\frac{g y \cos^2\alpha}{5m\alpha}$	$-\frac{g^2 y \cos\alpha}{Eh} \cdot \frac{\nu - 2\cos^2\alpha}{2.5m\alpha}$	$-\frac{g y}{Eh} \operatorname{ctg}\left[\frac{1}{2}\nu + \nu - \cos^2(\nu + \alpha)\right]$
$-\frac{\rho y}{2} \operatorname{ctg\alpha}$	$-g \rho \frac{\cos^2\alpha}{\sin\alpha}$	$-\frac{\rho y^2 \cos^2\alpha}{Eh} \frac{(\nu - 2\cos^2\alpha)}{\sin\alpha} - 1$	$-\frac{\rho y \operatorname{ctg}^2\alpha}{Eh} \left[\frac{1}{2}\nu + \nu - \cos^2(\nu + \alpha)\right]$
$-\frac{\rho y}{2} \operatorname{ctg\alpha}$	$-g \rho \cdot \operatorname{ctg\alpha}$	$\frac{\rho \cdot y^2 \cos^2\alpha}{Eh} \frac{(1 - \frac{\nu}{2})}{\sin\alpha}$	$\frac{3}{4} \frac{\rho y}{Eh} \operatorname{ctg}^2\alpha$



CILINDRIČNA LJUSKA

Tablica vrednosti  $N_y$ ,  $N_\phi$ ,  $\Delta R$ ,  $\chi$

$N_y$	$N_\phi$	$\Delta R$	$\chi$
0	$-a \cdot P$	$\frac{\alpha^2 \rho}{E h}$	0
0	$-\frac{\rho_1 a y}{\ell}$	$\frac{\alpha^2 \rho_1 y}{E h \cdot \ell}$	$-\frac{\alpha^2 \rho_1}{E h \cdot \ell}$
0	$-\alpha (\rho_2 + \frac{\rho_1 - \rho_2}{\ell} \cdot y)$	$\frac{\alpha^2 (\rho_2 + \frac{\rho_1 - \rho_2}{\ell} \cdot y)}{E h \cdot \ell}$	$\frac{\alpha^2}{E h} \frac{\rho_1 - \rho_2}{\ell}$

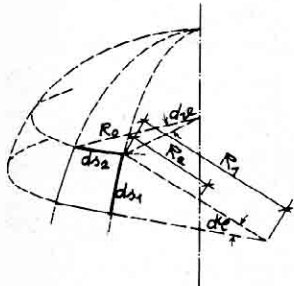
6. Rotaciono simetrična deformacija srednje površi rotacione ljske

Dilatacije u pravcima  $\varphi$  i  $\theta$  (sl. 17) date su izrazima

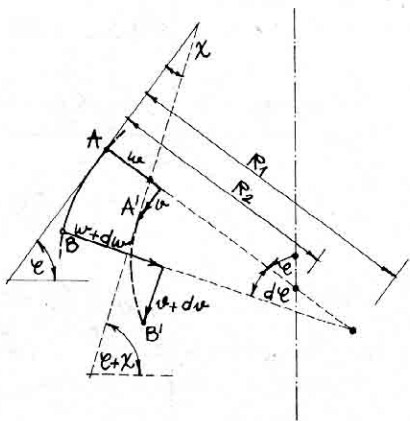
$$E_\varphi = \frac{\Delta ds_1}{ds_1} \quad E_\theta = \frac{\Delta ds_2}{ds_2},$$

gde su

$$ds_1 = R_1 d\varphi \quad ds_2 = R_2 d\theta.$$



( Sl. 17 )



( Sl. 18 )

Posmatrajmo prvo linijski elemenat u meridijalnoj ravni. Tačka  $A$  pretrpeće pomeranje  $v$  u pravcu tangente na meridijalnu krivu i pomeranje  $w$  u pravcu normale. Pomeranja bliske tačke  $B$  razlikovaće se za male veličine prvog reda (sl. 18) i biće

$$v+dv; \quad w+dw$$

Usled pomeranja  $v$  odnosno  $v+dv$  doći će do promene dužine elementa pa je taj deo dilatacije:

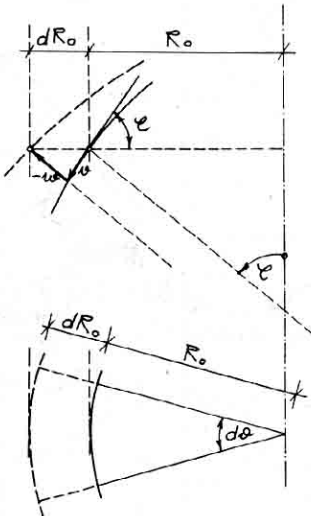
$$E_\varphi'' = \frac{ds_1 + v + dv - ds_1 - v}{ds_1} = \frac{dv}{ds_1} = \frac{dv}{R_1 d\varphi}.$$

Pretpostavimo sada da tačke  $A$  i  $B$  imaju samo pomeranje  $w$  odnosno  $w + dw$ . Usled tog pomeranja zanemarenjem male veličine višeg reda dobijamo

$$E_{\varphi}^{(2)} = \frac{ds_1(R_1-w) - ds_1}{ds_1} = -\frac{w}{R_1},$$

pa je

$$E_{\varphi} = \frac{1}{R_1} \left( \frac{du}{d\varphi} - w \right). \quad (\text{III.20})$$



( Sl. 19a,b )

Elemenat prstena  $ds_2 = R_o da$  dobija usled povećanja poluprečnika  $dR_o$  (sl. 19b) novu dužinu  $(R_o + dR_o)da$ , pa je

$$E_{\varphi} = \frac{(R_o + dR_o) - R_o}{R_o} = \frac{dR_o}{R_o}$$

Povećanje poluprečnika  $R_o$  preko pomeranja (sl. 19a) iznosi

$$dR_o = u \cos \varphi - w \sin \varphi$$

pa je konačno

$$E_\varphi = \frac{1}{R_0} (v \cos \varphi - w \sin \varphi)$$

ili

$$E_\varphi = \frac{1}{R_2} (v \operatorname{ctg} \varphi - w). \quad (\text{III.21})$$

Pored deformacije srednje površine posmatraćemo i promenu ugla nagiba  $\chi$  tangente na meridijalnu krivu koju ćemo obeležiti sa  $\chi$ .

Usled pomeranja  $v$  ugao nagiba tangente će se razlikovati od prethodnog za mali ugao

$$\chi'' = \frac{v}{R_1}$$

Usled razlike u pomeranju  $w$  izmedju dve susedne tačke za veličinu  $dw$  (na rastojanju  $ds_1$ ) dobiće još jednu promenu tog ugla veličine

$$\chi''' = \frac{dw}{ds_1} = \frac{dw}{R_1 d\varphi},$$

pa je veličina ugla  $\chi$  jednaka

$$\chi = \frac{1}{R_1} \left( v + \frac{dw}{d\varphi} \right) \quad (\text{III.22})$$

Za sračunate presečne sile  $N_\varphi$  i  $N_\theta$  možemo na osnovu jednačina (III.20), (III.21), sračunati pomeranja tačaka srednje površine.

Iz (III.20) i (III.21) nalazimo

$$\frac{dv}{d\varphi} - v \operatorname{ctg} \varphi - (R_1 E_\varphi - R_2 E_\theta) = 0,$$

i dalje integracijom

$$v = \left[ C + \int (R_1 E_\varphi - R_2 E_\theta) e^{-\int \operatorname{ctg} \varphi d\varphi} d\varphi \right] e^{\int \operatorname{ctg} \varphi d\varphi},$$

odnosno

$$v = \int \frac{R_1 E_\varphi - R_2 E_\theta}{\sin \varphi} d\varphi + C \int \frac{1}{\sin \varphi} d\varphi.$$

Unošenjem vrednosti za  $E\epsilon$  i  $E\vartheta$  putem presečnih sila:

$$E\epsilon = \frac{1}{Eh} (N_\epsilon - \nu N_\vartheta) ,$$

$$E\vartheta = \frac{1}{Eh} (N_\vartheta - \nu N_\epsilon) ,$$

dobijamo konačno:

$$\sigma = \left\{ \int \frac{1}{Eh} [N_\epsilon R_1 + \nu R_2 - N_\vartheta R_2 + \nu R_1] \frac{d\epsilon}{\sin \epsilon} + C \right\} \sin \epsilon . \quad (\text{III.23})$$

Konstanta  $C$  označava pomeranje ljske kao krutog tela u pravcu njene osovine.

## PROIZVOLJNO OPTEREĆENJE ROTACIONE LJUSKE

### 1. Antisimetrično opterećenje

\* Pretpostavljamo da je opterećenje ljudske dato izrazima

$$X = X_n \sin \varphi$$

$$Y = Y_n \cos \varphi \quad (\text{III.24a,b,c})$$

$$Z = Z_n \cos \varphi,$$

pri čemu su  $X_n$ ,  $Y_n$  i  $Z_n$  samo funkcije promenljive  $\varphi$ . Diferencijalne jednačine za proizvoljno opterećenje biće zadovoljene (jednačine ravnoteže) ako za presečne sile usvojimo sledeće izraze:

$$N_\varphi = N_{\varphi n} \cos \varphi$$

$$N_\theta = N_{\theta n} \cos \varphi \quad (\text{III.25a,b,c})$$

$$N_{\varphi\theta} = N_{\varphi\theta n} \sin \varphi,$$

gde su  $N_{\varphi n}$ ,  $N_{\theta n}$ ,  $N_{\varphi\theta n}$  takođe samo funkcije od  $\varphi$ . Stavlja-jući pretpostavljene izraze u uslove ravnoteže i deleći ove sa  $\cos \varphi$  odnosno  $\sin \varphi$  dobijamo:

$$\frac{d}{d\varphi} (R_0 N_{\varphi\theta n}) - n R_1 N_{\vartheta n} + R_1 N_{\varphi\theta n} \cos \varphi + X_n R_0 R_1 = 0 \quad (\text{III.26a,b,c})$$

$$\frac{d}{d\varphi} (R_0 N_{\varphi n}) + n R_1 N_{\varphi\theta n} - R_1 N_{\varphi\theta n} \cos \varphi + Y_n R_0 R_1 = 0$$

$$\frac{N_{\varphi n}}{R_1} + \frac{N_{\varphi\theta n}}{R_2} + Z_n = 0.$$

Ove tri jednačine moguće je eliminacijom  $N_{en}$  svesti na dve diferencijalne jednačine. Iz treće jednačine (III.26c) nalažimo:

$$N_{en} = -R_2 \left( \frac{N_{en}}{R_1} + Z_n \right).$$

Zamenjujući  $N_{en}$  u prvima dvema jednačinama putem ovog izraza dobijamo:

$$\frac{d}{de} (R_0 N_{esm}) + n R_2 N_{en} + R_1 N_{esm} \cos e + X_m R_0 R_1 + n R_1 R_2 Z_n = 0$$

$$\frac{d}{de} (R_0 N_{en}) + n R_1 N_{esm} + R_2 N_{en} \cos e + Y_m R_0 R_1 + R_1 R_2 Z_n \cos e = 0$$

Diferencirajući izraze u zagradi i deleći jednačine sa  $R_0$  nalažimo:

$$\begin{aligned} \frac{dN_{esm}}{de} + \left( \frac{dR_0}{R_0 de} + \frac{R_1}{R_2} \operatorname{ctg} e \right) N_{esm} + \frac{n}{\sin e} N_{en} + \\ + R_1 X_m + \frac{n}{\sin e} R_1 Z_n = 0 \end{aligned} \quad (\text{III.27a,b})$$

$$\begin{aligned} \frac{dN_{en}}{de} + \left( \frac{dR_0}{R_0 de} + \operatorname{ctg} e \right) N_{en} + \frac{n R_1}{R_2} \frac{N_{esm}}{\sin e} + \\ + Y_m R_1 + R_1 \operatorname{ctg} e Z_n = 0 . \end{aligned}$$

## 2. Rešenje za sfernu kupolu

Polazeći od gornjih jednačina pokazaćemo rešenje zadatka za sfernu kupolu.

Kako je u tom slučaju  $R_1 = R_2 = a = \text{const.}$ , leve strane navedenih jednačina biće jednostavnije:

$$\frac{dN_{\theta\text{en}}}{de} + 2\operatorname{ctg}\epsilon N_{\theta\text{en}} + \frac{n}{\sin\epsilon} N_{\theta m} + a \left( X_n + \frac{n}{\sin\epsilon} Z_n \right) = 0 \quad (\text{III.28a,b})$$

$$\frac{dN_{\theta m}}{de} + 2\operatorname{ctg}\epsilon N_{\theta m} + \frac{n}{\sin\epsilon} N_{\theta\text{en}} + a \left( Y_n + \operatorname{ctg}\epsilon Z_n \right) = 0.$$

Učinimo zbir i razliku ovih jednačina i pritom uvedimo nove nepoznate:

$$U_1 = N_{\theta m} + N_{\theta\text{en}} \quad (\text{III.29a,b})$$

$$U_2 = N_{\theta m} - N_{\theta\text{en}}.$$

Tada dobijamo:

$$\frac{dU_1}{de} + \left( 2\operatorname{ctg}\epsilon + \frac{n}{\sin\epsilon} \right) U_1 + a \left( X_n + Y_n + \frac{n+\cos\epsilon}{\sin\epsilon} Z_n \right) = 0 \quad (\text{III.30a,b})$$

$$\frac{dU_2}{de} + \left( 2\operatorname{ctg}\epsilon - \frac{n}{\sin\epsilon} \right) U_2 + a \left( Y_n - X_n - \frac{n-\cos\epsilon}{\sin\epsilon} Z_n \right) = 0.$$

Ovom smenom dobili smo dve međusobno nezavisne diferencijalne jednačine prvog reda sa promenljivim koeficijentima tipa:

$$\frac{dU_k}{de} + p_k(\epsilon) U_k + q_k(\epsilon) = 0 ; \quad k = 1, 2 \quad (\text{III.31})$$

Rešenje ove jednačine, kao što je poznato može se napisati u boliku:

$$U_k = \left[ C_k - \int q_k e^{\int p_k de} de \right] e^{-\int p_k de} \quad (\text{III.32})$$

Imajući u vidu izraze za  $p_k$ :

$$p_k = 2\operatorname{ctg}\epsilon \pm \frac{n}{\sin\epsilon},$$

dobijamo:

$$U_1 = \frac{\operatorname{ctg}^n \varphi / 2}{\sin^2 \varphi} \left[ C_1 - a \int \left( X_n + Y_n + \frac{n + \cos \varphi}{\sin \varphi} Z_n \right) \sin^2 \varphi \operatorname{ctg}^n \varphi / 2 d\varphi \right], \quad (\text{III.33a,b})$$

$$U_2 = \frac{\operatorname{tg}^n \varphi / 2}{\sin^2 \varphi} \left[ C_2 - a \int \left( -X_n + Y_n - \frac{n - \cos \varphi}{\sin \varphi} Z_n \right) \sin^2 \varphi \operatorname{ctg}^n \varphi / 2 d\varphi \right].$$

Kao primer uzećemo opterećenje sferne kupole vетром. Eksperimentalna istraživanja pokazala su da se opterećenje vетrom može uzeti u obliku:

$$X = Y = 0, \quad Z = \sum_{\nu=0}^n p_w \sin \nu \varphi K_n \cos \nu \varphi,$$

gde je  $p_w$  - osnovno opterećenje vетром dato propisima, a  $K_n$  - koeficijenat opterećenja.

za  $n = 1$ , tj. za prvi antisimetrični član dobijamo:

$$Z = p_w \sin \varphi \cos \varphi,$$

gde je:

$$p = p_w K_1$$

Stavljujući  $Z = p_w \sin \varphi \cos \varphi$  u dato rešenje posle integraljenja dobijamo:

$$U_1 = \frac{1 + \cos \varphi}{\sin^3 \varphi} \left[ C_1 + p a \left( \cos \varphi - \frac{1}{3} \cos^3 \varphi \right) \right], \quad (\text{III.34a,b})$$

$$U_2 = \frac{1 - \cos \varphi}{\sin^3 \varphi} \left[ C_2 - p a \left( \cos \varphi - \frac{1}{3} \cos^3 \varphi \right) \right].$$

Izrazi za presečne sile date su tada izrazima:

$$N_y = \frac{\cos \varphi}{\sin^3 \varphi} \left[ \frac{C_1 + C_2}{2} + \frac{C_1 - C_2}{2} \cos \varphi + p a \left( \cos^2 \varphi - \frac{1}{3} \cos^4 \varphi \right) \right], \quad (\text{III.35a,b})$$

$$N_{x,y} = \frac{\sin \varphi}{\sin^3 \varphi} \left[ \frac{C_1 - C_2}{2} + \frac{C_1 + C_2}{2} \cos \varphi + p a \left( \cos \varphi - \frac{1}{3} \cos^3 \varphi \right) \right].$$

Obe integracione konstante možemo odrediti iz uslova da u temenu presečne sile  $N_{\varphi}$  i  $N_{\varphi\vartheta}$  imaju konačnu vrednost.

Kako imenitelj  $\sin^3\varphi$  ima za  $\varphi=0$  nulu trećeg reda, jer je i

$$(\sin^3\varphi)''=0$$

moraju i izrazi u zagradama biti za  $\varphi=0$  nule istog reda.  
za  $\varphi=0$  izraz u zagradi za obe jednačine daje:

$$C_1 = -\frac{2}{3}pa$$

Prvi izvod izraza u zagradi identički je ravan nuli za bilo koji izbor konstanti  $C_1$  i  $C_2$  a drugi izvod za obe zgrade daje:

$$C_2 = \frac{2}{3}pa$$

Izrazi za sile su sledeći:

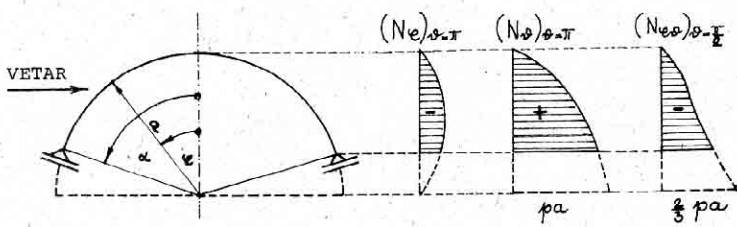
$$N_{\varphi} = -\frac{pa}{3} \frac{\cos\varphi \sin^2\varphi}{\sin^3\varphi} (2 - 3\cos\varphi + \cos^3\varphi),$$

$$N_{\varphi\vartheta} = -\frac{pa}{3} \frac{3\sin\varphi}{\sin^3\varphi} (2 - 3\cos\varphi + \cos^3\varphi), \quad (\text{III.36a,b,c})$$

$$N_{\vartheta} = \frac{pa}{3} \frac{\cos\varphi}{\sin^3\varphi} (2\cos\varphi - 3\sin^2\varphi - 2\cos^2\varphi).$$

U slučaju polusfere nestaju sile  $N_{\varphi}$  za  $\varphi=\pi/2$ , jer je momenat spoljašnjih sila u odnosu na ravan ivičnog kruga jednak nuli zbog toga što pravci delovanja svih sila vетра idu kroz centar sfere, a on leži u ravni ivičnog kruga.

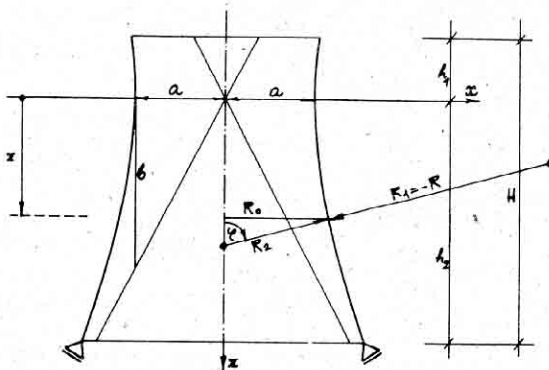
Na (Sl. 20 ) prikazan je tok unutrašnjih sila  $N_{\varphi}$ ,  $N_{\varphi\vartheta}$ ,  $N_{\vartheta}$  duž nekoliko karakterističnih preseka.



( Sl. 20 )

3. Proračun ljsuske oblike rotacionog hiperboloida  
metodom konačnih razlika

Za numeričko rešenje ovog tipa rotacione ljsuske prik-ladnije je umesto ugaone koordinate  $\varphi$  uvesti koordinatu  $z$  m-remu duž ose rotacije hiperboloida (Sl. 21).



( Sl. 21 )

Jednačine (III.27a,b) možemo, stavljajući

$$R_0 = R_0 \sin \varphi ; \quad R_1 = -R ; \quad \frac{1}{d\varphi} = -\frac{R_0 \sin \varphi}{dz}$$

$$\frac{dR_0}{dz} = ctg \varphi$$

prevesti na sledeći sistem jednačina:

$$\frac{dN_{\varphi n}}{dz} R_0 \sin^2 \varphi + 2R_0^2 \cos \varphi N_{\varphi \vartheta n} - \frac{n R_0^2}{R_0 \sin \varphi} N_{\vartheta n}$$

$$+ R_0^2 \left( X_n + \frac{n}{\sin \varphi} Z_n \right) = 0 \quad , \quad (III.37a,b)$$

$$\frac{dN_{\vartheta n}}{dz} R_0 \sin \varphi + \left( \frac{dR_0}{dz} \sin \varphi - \frac{R_0}{R} \operatorname{ctg} \varphi \right) N_{\vartheta n}$$

$$+ n N_{\varphi \vartheta n} + R_0 \left( Y_n + Z_n \operatorname{ctg} \varphi \right) = 0 .$$

Treba primetiti da poluprečnik krivine  $R_1$  ima negativnu vrednost  $R_1 = -R$ . Ovo proizilazi iz činjenice da smo prilikom izvodjenja jednačina (III.27a,b) smer unutrašnje normale usvojili kao pozitivan.

Daljnjim sažimanjem jednačina (III.37a,b) nalazimo

$$\frac{d}{dz} \left( N_{\varphi n} R_o^2 \right) - \frac{n R_o^2}{R_o \sin^2 \varphi} N_{\varphi n} + \frac{R_o^2}{\sin^2 \varphi} \left( X_n + \frac{n}{\sin \varphi} Z_n \right) = 0, \quad (\text{III.38a,b})$$

$$\frac{d}{dz} \left( N_{\varphi n} R_o \sin \varphi \right) + n N_{\varphi n} + R_o \left( Y_n + Z_n \operatorname{ctg} \varphi \right) = 0.$$

Uvodjenjem novih nepoznatih

$$U_n(z) = N_{\varphi n} R_o \sin \varphi, \quad (\text{III.39a,b})$$

$$V_n(z) = N_{\varphi n} R_o^2,$$

i stavljajući

$$C_n(z) = -R_o \left( Y_n + Z_n \operatorname{ctg} \varphi \right), \quad (\text{III.40a,b})$$

$$D_n(z) = \frac{R_o^2}{\sin^2 \varphi} \left( X_n + \frac{n}{\sin \varphi} Z_n \right),$$

prethodne jednačine možemo napisati u obliku

$$\frac{dV_n(z)}{dz} - \frac{n R_o}{R_o \sin^3 \varphi} U_n(z) = D_n(z), \quad (\text{III.41a,b})$$

$$\frac{dU_n(z)}{dz} + \frac{n}{R_o^2} V_n(z) = C_n(z).$$

Jednačina meridijalne linije rotacionog hiperboloida glasi  
(sl. 21)

$$\frac{R_o^2}{a^2} - \frac{z^2}{b^2} = 1,$$

gde  $b$  predstavlja imaginarnu poluosu hiperbole.

Dalje dobijamo sledeće relacije

$$R_o = \frac{a}{b} \sqrt{b^2 + z^2}, \quad \operatorname{ctg} \varphi = \frac{dR_o}{dz} = \frac{az}{R_o}, \quad \alpha = \frac{a^2}{b^2}$$

$$sm\varphi = \frac{R_o}{R_2}, \quad \cos\varphi = \frac{1}{R_2} \sqrt{R_2^2 - R_o^2} = \frac{\alpha z}{R_2},$$

$$R_2 = \alpha \sqrt{1 + (\alpha + \alpha^2) \frac{z^2}{R^2}}, \quad R = \alpha^2 b^2 \left( \frac{R_o^2}{\alpha^4} + \frac{z^2}{b^4} \right)^{\frac{3}{2}}$$

Eliminacijom nepoznate  $V_n(z)$  sistem diferencijalnih jednačina (III.41a,b) prvog reda možemo svesti na jednu jednačinu drugog reda u kojoj figuriše samo nepoznata  $U_n(z)$ . Diferenciranjem druge jednačine (III.41b) nalazimo

$$\frac{d^2 U_n(z)}{dz^2} + \frac{d}{dz} \left( \frac{n}{R_o^2} \right) V_n(z) + \frac{n}{R_o^2} \frac{dV_n(z)}{dz} = \frac{dC_n(z)}{dz}.$$

Unošenjem vrednosti za  $V_n(z)$  i  $\frac{dV_n(z)}{dz}$  iz sistema (III.41a), imajući na umu da je

$$\frac{d}{dz} \left( \frac{n}{R_o^2} \right) = -2nR_o^{-3} \frac{dR_o}{dz} = -2n \frac{\alpha z}{R_o^4},$$

dobijamo konačno:

$$\begin{aligned} \frac{d^2 U_n(z)}{dz^2} + 2\alpha^2 \frac{z}{R_o^2} \frac{dU_n(z)}{dz} + \frac{n^2}{R_o^2 R_1 \sin^3 \varphi} U_n(z) &= \\ &= \frac{dC_n}{dz} + 2\alpha^2 \frac{z}{R_o^2} C_n - \frac{n}{R_o^2} D_n. \end{aligned} \quad (\text{III.42})$$

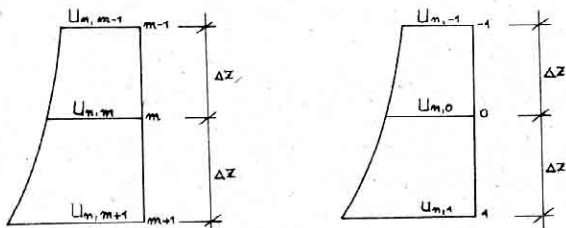
Primenom metode konačnih razlika, deleći interval  $-h_1 \leq z \leq h_2$  na  $M$  jednakih delova, prethodnu diferencijalnu jednačinu možemo u svakoj podeonoj tački  $m$  ( $m=0,1,2,\dots,M$ ) intervala prevesti u linearnu jednačinu.

stavljajući, naime

$$\left( \frac{dU_n(z)}{dz} \right)_m = \frac{U_{n,m+1} - U_{n,m-1}}{2\Delta z}$$

$$\left( \frac{d^2 U_n(z)}{dz^2} \right)_m = \frac{U_{n,m+1} - 2U_{n,m} + U_{n,m-1}}{\Delta z^2}$$

gde je  $\Delta z$  (Sl. 22a) razmak izmedju podeonih tačaka dobijamo



a)

b)

( Sl. 22 )

za tačku  $m (m=0,1,2 \dots M)$  sledeću linearu jednačinu:

$$U_{n,m-1} S_{m,m-1}^{(n)} + U_{n,m} S_{m,m}^{(n)} + U_{n,m+1} S_{m,m+1}^{(n)} = S_{m,m0}^{(n)}, \quad (\text{III.43})$$

gde je

$$S_{m,m-1}^{(n)} = \frac{1}{\Delta z^2} \frac{\alpha^2 z_m}{\Delta z R_{om}^2}$$

$$S_{m,m}^{(n)} = \frac{n^2}{R_{om} R_{im} \sin^3 \varphi_m} - \frac{2}{\Delta z^2}$$

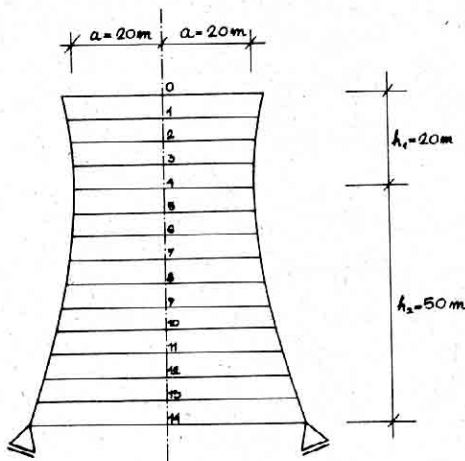
$$S_{m,m+1}^{(n)} = \frac{1}{\Delta z^2} + \frac{\alpha^2 z_m}{\Delta z R_{om}^2}$$

Rešenjem sistema jednačina (III.43) zajedno sa 2 uslova na konturi ljske, koje treba takođe izraziti putem konačnih razlika, dobija se rešenje zadatka za opterećenje dato izrazima (III.24a,b,c). Superpozicijom ovih rešenja za  $n=1,2 \dots N$  dobija se rešenje ovog problema.

Brojni primer

Na (Sl. 23 ) data je ljudska oblika rotacionog hiperboloida sa njenim osnovnim karakteristikama. Geometrijski podaci potrebni za proračun dati su u narednoj tabeli.

$m$	$Z_m$	$R_{om}$	$R_{1m}$	$R_{2m}$
0	-20.000	24.037	94.681	25.628
1	-15.000	22.361	71.458	23.333
2	-10.000	21.082	56.257	21.545
3	-5.000	20.276	47.735	20.397
4	0.000	20.000	45.000	20.000
5	5.000	20.276	47.735	20.397
6	10.000	21.082	56.257	21.545
7	15.000	22.361	71.458	23.333
8	20.000	24.037	94.681	25.628
9	25.000	26.034	127.574	28.306
10	30.000	28.284	171.982	31.269
11	35.000	30.732	229.869	34.444
12	40.000	33.333	303.272	37.778
13	45.000	36.056	394.272	41.231
14	50.000	38.873	504.980	44.777



( Sl. 23 )

Ljuska je opterećena vетром tako da je

$$X = Y = 0, \quad Z = \sum_{n=0}^N Z_n(z) \cos n\varphi$$

gde je

$$Z_n = p(z) \sin \varphi K_n$$

vrednosti  $p(z)$  i  $K_n$  imaju sledeće značenje:

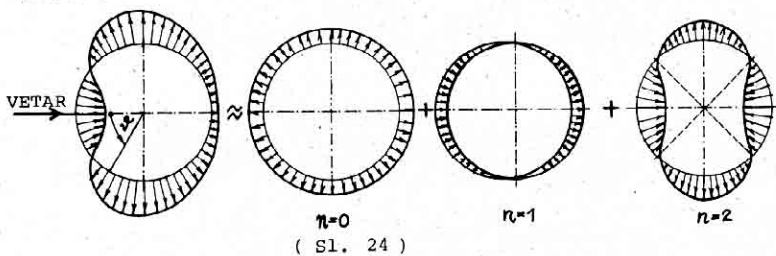
$p(z)$  - osnovno opterećenje vетrom dato propisima

$K_n$  - koeficijent opterećenja, koji se takodje daje propisima ili dobija na osnovu ispitivanja.

U ovom primeru usvajamo  $p(z) = \text{const} = 1 \text{ kN/m}^2$ ,

$$K_0 = -0,7 \quad K_1 = 0,5 \quad K_2 = K_N = 1,2$$

Raspored opterećenja po obimu paralelnog kruga dat je na  
(Sl. 24)



( Sl. 24 )

Gornja kontura ljuske je slobodna tako da su granični uslovi na tom kraju

$$z = h_1, \quad N_\varphi = N_{\varphi e} = 0$$

odnosno

$$U_{n,0} = 0, \quad V_{n,0} = 0$$

Na osnovu jednačine (III.41 b) drugi uslov možemo izraziti preko promenljive  $U_n$  (Sl. 22b).

$$\frac{U_{n,1} - U_{n,-1}}{2 \Delta z} = C_{n,0}$$

odnosno

$$U_{n,-1} = U_{n,1} - 2 C_{n,0} \Delta z,$$

(III.44)

$m$	$U_{0,m}$	$N_{0,e}$	$N_{0,o}$	$N_{0,eo}$
0	0.000	0.000	-24.037	0.000
1	49.671	2.318	-23.118	0.000
2	91.193	4.421	-22.775	0.000
3	123.796	6.142	-22.900	0.000
4	146.423	7.321	-23.254	0.000
5	158.005	7.839	-23.626	0.000
6	157.810	7.650	-24.012	0.000
7	145.612	6.795	-24.580	0.000
8	121.597	5.394	-25.497	0.000
9	86.166	3.599	-26.833	0.000
10	39.758	1.554	-28.567	0.000
11	-17.233	-0.628	-30.638	0.000
12	-84.486	-2.873	-32.976	0.000
13	-161.753	-5.130	-35.519	0.000
14	-248.846	-7.374	-38.219	0.000

$m$	$U_{1,m}$	$N_{1,e}$	$N_{1,o}$	$N_{1,eo}$
0	0.000	0.000	-24.037	0.000
1	62.999	2.940	-23.321	-8.261
2	146.502	7.102	-23.802	-14.244
3	248.931	12.351	-25.553	-19.579
4	364.384	18.219	-28.097	-23.474
5	483.669	23.997	-30.530	-25.532
6	597.613	28.970	-32.177	-26.003
7	700.210	32.676	-33.031	-25.570
8	789.428	35.016	-33.515	-24.921
9	866.044	36.169	-34.059	-24.485
10	932.086	36.432	-34.908	-24.434
11	989.782	36.098	-36.141	-24.780
12	1041.095	35.397	-37.743	-25.467
13	1087.593	34.494	-39.663	-26.428
14	1130.476	33.498	-41.843	-27.597

$m$	$U_{2,m}$	$N_{2,e}$	$N_{2,o}$	$N_{2,eo}$
0	0.000	0.000	-24.037	0.000
1	102.981	4.806	-23.930	-12.275
2	309.384	14.998	-26.826	-22.801
3	602.493	29.893	-33.049	-30.344
4	938.356	46.918	-40.852	-32.821
5	1258.913	62.461	-46.965	-30.209
6	1520.447	73.706	-49.310	-24.832
7	1712.057	79.896	-48.449	-19.675
8	1850.067	82.062	-46.249	-16.617
9	1961.030	81.899	-44.206	-16.065
10	2069.184	80.878	-42.989	-17.577
11	2191.970	79.942	-42.711	-20.497
12	2340.326	79.571	-43.245	-24.268
13	2520.495	79.939	-44.415	-28.507
14	2735.562	81.059	-46.061	-32.975

gde je  $U_{n,-1}$  ekstrapolirana vrednost za tačku  $m = -1$  izvan oblasti.

Jednačinu (III.43) napisaćemo u obliku:

$$U_{n,m+1} = \frac{1}{\delta_{m,m+1}^{(n)}} \left( \delta_{m,m_0}^{(n)} - U_{n,m} \delta_{m,m}^{(n)} - U_{n,m-1} \delta_{m,m-1}^{(n)} \right) \quad (\text{III.45})$$

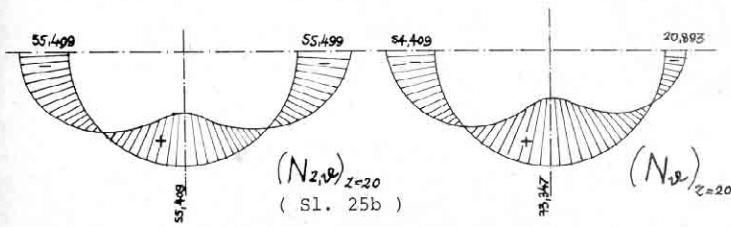
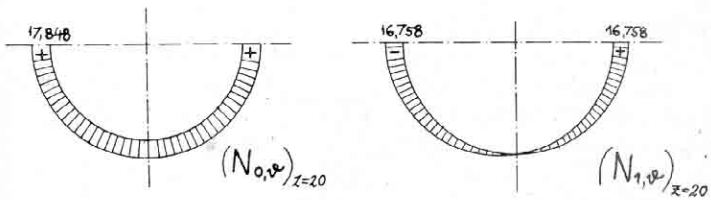
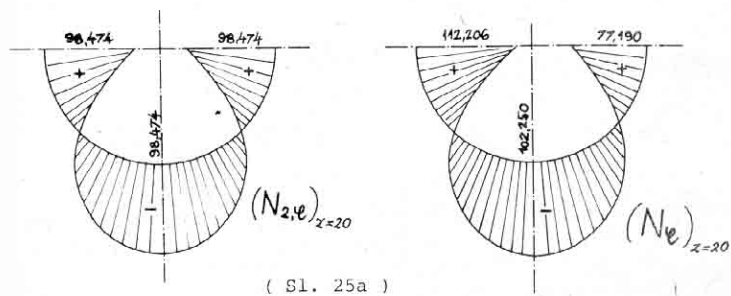
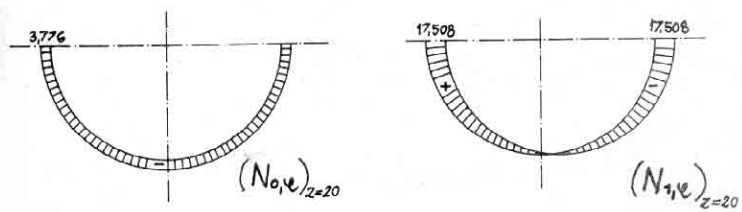
za tačku  $m = 0$ , imajući na umu uslove (III.44) na konturi, dobijamo:

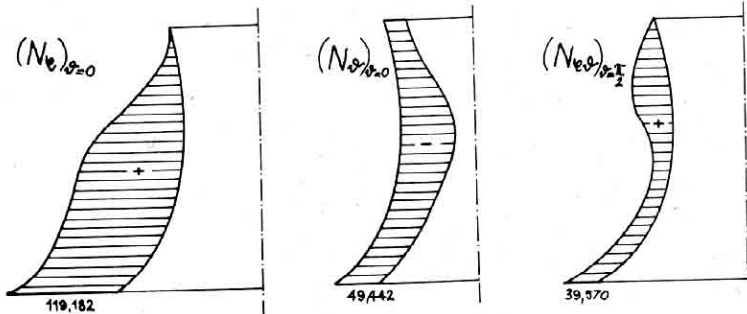
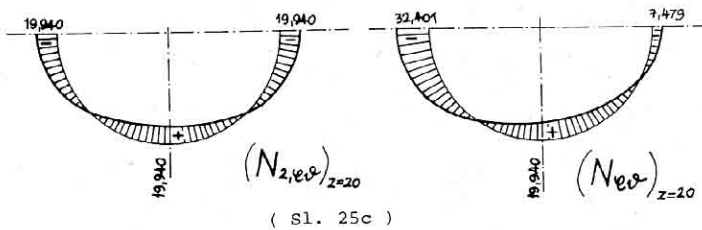
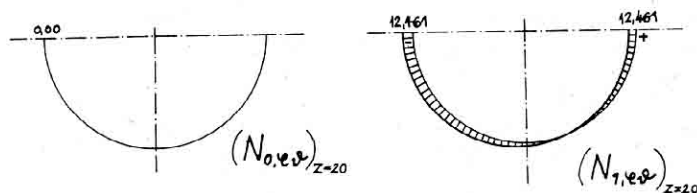
$$U_{n,1} = \frac{1}{\delta_{0,1}^{(n)} + \delta_{0,-1}^{(n)}} \left( \delta_{n,0}^{(n)} + 2C_{n,0} \delta_{0,-1}^{(n)} \Delta z \right) \quad (\text{III.46})$$

Počev od tačke  $m = 1$  vrednosti  $U_{n,2}, U_{n,3}, \dots, U_{n,M}$  sračunavamo direktno iz izraza (III.45), koji u stvari predstavlja rekurentni obrazac za sračunavanje pomenutih vrednosti.

Proračun veličina  $U_{n,m}, N_{em}, N_{am}, N_{eom}$  dat je u sledećim tabelama.

Dijagrami presečnih sila u pojedinim presecima za  $n = 0, 1, 2$  kao i zbirni dijagrami dati su na (Sl. 25a,b,c,d).



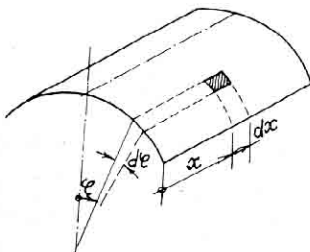


( Sl. 25d )

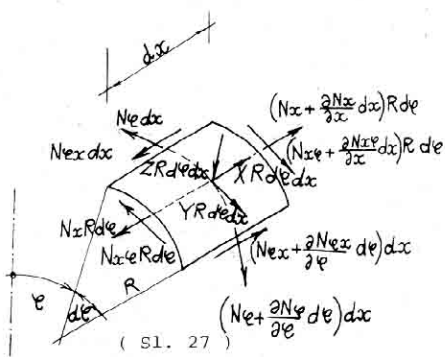
## BEZMOMENTNA TEORIJA CILINDRIČNIH LJUSKI

### 1. Osnovne jednačine ravnoteže za proizvoljan oblik presečne krive

Za sistem glavnih koordinata izabraćemo odstojanje  $x$  od nekog unapred određenog poprečnog preseka i ugao  $\varphi$  koji zaklapa normalu u posmatranoj tački sa pravcem neke unapred određene normale (Sl. 26).



( Sl. 26 )



( Sl. 27 )

Koordinatama  $x$  i  $\varphi$  određen je položaj svake tačke na srednjoj površi cilindrične ljsuske. Ordinata  $Z$ , kao odstojanje od srednje površi biće pozitivno merena u pravcu unutrašnje normale. Kao presečne sile javljaju se  $N_{xc}$ ,  $N_y$  i  $N_{xy} = N_{xc}$ .

Uslovi ravnoteže sila koje napadaju elemenat isečen iz ljsuske sa dva para preseka  $x$  i  $x+dx$  odnosno  $\varphi$  i  $\varphi+dx$  (Sl. 27) daju:

$$\frac{\partial N_{xc}}{\partial x} + \frac{\partial N_{xc}\varphi}{R\partial\varphi} + X = 0, \quad (\text{III.47a,b,c})$$

$$\frac{1}{R} \frac{\partial N_y}{\partial\varphi} + \frac{\partial N_{xc}}{\partial x} + Y = 0,$$

$$\frac{N_y}{R} + Z = 0.$$

Kao što se vidi iz ovih izraza presečna sila  $N_y$  zavisi samo od veličine opterećenja  $Z$  na tom mestu.

Integracijom ovih jednačina dobijamo:

$$N_\varphi = -ZR,$$

$$N_{\varphi x} = - \int \left( Y + \frac{1}{R} \frac{\partial N_\varphi}{\partial \varphi} \right) dx + C_1(\varphi), \quad (\text{III.48a,b,c})$$

$$N_x = - \int \left( X + \frac{\partial N_{\varphi x}}{\partial \varphi} \right) dx + C_2(\varphi).$$

Specijalan slučaj predstavlja opterećenje  $X=0$ , a  $Y_i$  su nezavisne od koordinate  $x$ . Tada imamo:

$$N_\varphi = -ZR,$$

$$N_{\varphi x} = - \left( Y + \frac{1}{R} \frac{dN_\varphi}{d\varphi} \right) x + C_1(\varphi), \quad (\text{III.49a,b,c})$$

$$N_x = \frac{1}{R} \frac{d}{d\varphi} \left( Y + \frac{1}{R} \frac{dN_\varphi}{d\varphi} \right) \frac{x^2}{2} - \frac{1}{R} \frac{dC_1(\varphi)}{d\varphi} x + C_2(\varphi).$$

## 2. Kružna cilindrična ljska

a) Presečne sile za proizvoljno opterećenje

Površinsko opterećenje možemo uvek predstaviti u obliku:

$$X = \sum_{n=0}^{\infty} X_n \cos n\varphi,$$

$$Y = \sum_{n=1}^{\infty} Y_n \sin n\varphi, \quad (\text{III.50a,b,c})$$

$$Z = \sum_{n=0}^{\infty} Z_n \cos n\varphi,$$

gde su  $X_n, Y_n, Z_n$  poznate funkcije koordinate  $\varphi$  a  $n$  dobija vrednosti  $0, 1, 2, 3, \dots$ . Vrednost  $n=0$  odgovara rotaciono simetričnom opterećenju, pa je razumljivo  $Y_0=0$ .

Posmatraćemo samo jedan član takvog opterećenja i za njega potražiti rešenje. Ukupno rešenje dobija se superpozicijom

rešenja za svaki član opterećenja. Tako imamo:

$$X = X_n \cos n\varphi, \quad Y = Y_n \sin n\varphi, \quad Z = Z_n \cos n\varphi, \quad (\text{III}51, a, b, c)$$

Presečne sile dobijemo integracijom jednačina (III48a,b,c)

$$N_\varphi = -Z_n \alpha \cos n\varphi,$$

$$N_{ex} = -\sin n\varphi \int (Y_n + nZ_n) dx + C_1(\varphi), \quad (\text{III}52, a, b, c)$$

Imajući u vidu da je

$$\frac{1}{\alpha} \frac{\partial N_{ex}}{\partial \varphi} = -\frac{n}{\alpha} \cos n\varphi \int (Y_n + Z_n) dx + \frac{1}{\alpha} \frac{dC_1(\varphi)}{d\varphi}$$

dobijamo:

$$N_x = -\frac{1}{\alpha} \cos n\varphi \left[ \int [X_n \alpha - n \int Y_n + nZ_n dx] dx - \frac{1}{\alpha} \frac{dC_1(\varphi)}{d\varphi} \right] + C_2(\varphi) \quad (\text{III}52c)$$

U specijalnom slučaju kada je  $X_n = 0$  a  $Y_n$  i  $Z_n$  nezavisno od  $x$  jednačine (III52a,b,c) možemo integrisati u zatvorenom obliku. Predpostavimo li funkcije  $C_1(\varphi)$  i  $C_2(\varphi)$  kao periodične funkcije od  $\varphi$ :

$$C_1(\varphi) = A_1 \sin n\varphi,$$

$$C_2(\varphi) = A_2 \cos n\varphi,$$

pri čemu su  $A_1$  i  $A_2$  konstante, tada iz jednačina (III52a,b,c) sledi:

$$N_\varphi = -Z_n \alpha \cos n\varphi,$$

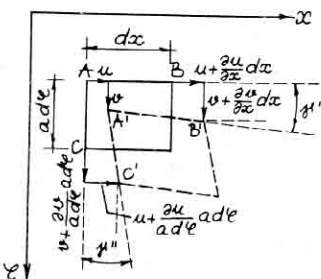
$$N_{ex} = - \left[ (Y_n + nZ_n)x - A_1 \right] \sin n\varphi, \quad (\text{III}53a, b, c)$$

$$N_x = \left\{ \frac{n}{\alpha} \left[ \left( Y_n + nZ_n \right) \frac{x^2}{2} - A_1 x \right] + A_2 \right\} \cos n\varphi.$$

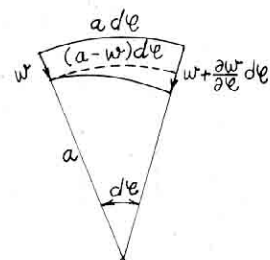
b) Deformacija

Pomeranje tačaka srednje površine ljske opisacemo sa tri komponente pomeranja  $u, v, w$  u pravcu  $x, y$  i  $z$ .

Posmatraćemo elemenat isečen iz ljske dužine  $dx$  i  $ad\epsilon$  (Sl. 28).



( Sl. 28 )



( Sl. 29 )

Saopštimo tački  $A$  (Sl. 28) pomeranja  $u$  i  $v$ . Njen novi položaj biće tačka  $A'$ . Tačka  $B$  na beskonačno malom odstojanju  $dx$  pretrpeće pomeranja

$$u + \frac{\partial u}{\partial x} dx, \quad v + \frac{\partial v}{\partial x} dx,$$

Slično tome se i tačka  $C$  na odstojanju  $ad\epsilon$  pomeriti za

$$u + \frac{\partial u}{\partial \epsilon} d\epsilon, \quad v + \frac{\partial v}{\partial \epsilon} d\epsilon,$$

Razlika pomeranja tačaka  $A$  i  $B$  u pravcu  $x$  ose podeljena sa odstojanjem  $dx$  daje dilataciju  $Ex$

$$Ex = \frac{u + \frac{\partial u}{\partial x} dx - u}{dx} = \frac{\partial u}{\partial x}. \quad (\text{III.54})$$

Razlika u pomeranju  $v$  tačaka  $A$  i  $C$  doprinosi promeni dužine  $ad\epsilon$ . Deo dilatacije  $E\epsilon''$  izazvan ovom razlikom u pomeranju jednak je

$$E\epsilon'' = \frac{v + \frac{\partial v}{\partial \epsilon} d\epsilon - v}{ad\epsilon} = \frac{\partial v}{\partial \epsilon},$$

Osim toga će luk  $ade$  izmeniti svoju dužinu i usled pomeranja  $w$  u pravcu normale na srednju površinu.

Nova dužina (Sl. 29) je zanemarujući male veličine višeg reda jednaka  $(a-w)d\epsilon$ . To daje drugi deo dilatacije  $E\epsilon$ :

$$E\epsilon^{(2)} = \frac{(a-w)d\epsilon - ade}{ade} = -\frac{w}{a},$$

pa je ukupno:

$$E\epsilon = \frac{du}{ade} - \frac{w}{a}. \quad (\text{III.55})$$

Na kraju menja se i prav ugao izmedju linijskih elemenata  $dx$  i  $ade$ , što daje deformaciju klizanja:

$$\delta_{x\epsilon} = \left( \frac{\partial u}{\partial x} dx \right) \frac{1}{dx} + \left( \frac{\partial u}{\partial d\epsilon} ade \right) \frac{1}{ade} = \frac{\partial u}{\partial x} + \frac{1}{a} \frac{\partial u}{\partial d\epsilon} \quad (\text{III.56})$$

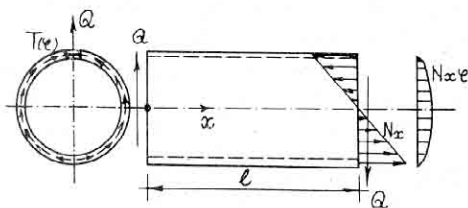
Imajući na umu veze izmedju komponentalnih deformacija i presečnih sila dobijamo:

$$\begin{aligned} \frac{\partial u}{\partial x} &= \frac{1}{Eh} (N_x - \nu N_\epsilon) \\ \frac{\partial u}{\partial d\epsilon} - \frac{w}{a} &= \frac{1}{Eh} (N_\epsilon - \nu N_x) \quad (\text{III.57a,b,c}) \\ \frac{\partial u}{\partial x} + \frac{1}{a} \frac{\partial u}{\partial d\epsilon} &= \frac{2(1+\nu)}{Eh} N_{x\epsilon} \end{aligned}$$

Iz ovih izraza mogu se sračunati pomeranja kad su zadate prečne sile.

c) Primer

Kružna cev opterećena na konturi (Sl. 30).



( Sl. 30 )

Opterećenje silom  $Q$  na kraju neka je takvo da je raspored smičućih sila za  $x=0$ :

$$N_{xe} = \frac{Q}{\pi a} \sin \epsilon$$

Granični uslovi su sledeći:

$$x=0 \quad N_{xe}=0 \quad N_{xe} = T(e)$$

Na osnovu izraza (III.48a,b,c) imajući na umu ove granične uslove dobijamo:

$$N_e = 0$$

$$N_{xe} = C_1(\epsilon) = \frac{Q}{\pi a} \sin \epsilon$$

(III.58a,b,c)

$$N_x = -\frac{Q}{\pi a^2} x \cos \epsilon$$

Pomeranje  $u$  možemo odrediti iz jednačine:

$$\frac{\partial u}{\partial x} = \frac{1}{Eh} (N_x - v N_e) = -\frac{Q}{Eh \pi a^2} x \cos \epsilon$$

$$u = -\frac{Q}{2E \pi a^2 h} x^2 \cos \epsilon + C_3(\epsilon)$$

Funkciju  $C_3(\varphi)$  odredićemo tako što ćemo staviti da je za  $x=\ell$  pomeranje  $u=0$ :

$$C_3(\varphi) = \frac{Q\ell^2 \cos \varphi}{2\pi a^2 h E}$$

pa je

$$u = \frac{Q}{2E\pi n^2 h} (\ell^2 - x^2) \cos \varphi$$

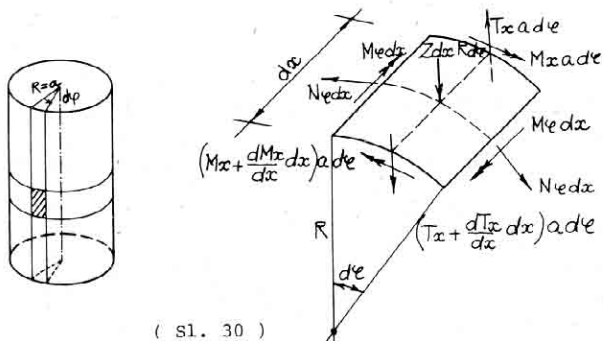
Ako je cev uklještena za  $x=\ell$  moraju biti zadovoljeni uslovi  $u=u=w=0$ . Prvi smjer već iskoristili. I uslov za  $w$  možemo integracijom jednačine (III.57c) iskoristiti jer ćemo imati novu integracionu funkciju  $C_4(\varphi)$  na raspolaganju. Pomeranje  $w$  sledi tada iz konačne jednačine (III.57b). Međutim, sada više nemamo slobodnih integracionih funkcija po  $\varphi$  da bi uslov  $w=0$  ispunili..

Iz ovog sledi da nepomerljivost tačaka oslanjanja u pravcu  $\mathbf{z}$  pri membranskom naprezanju nisu ostvarljiva. Realni uslovi oslanjanja izažvali bi savijanje ljske i odgovarajuće presečne sile na krajevima.

## SAVIJANJE KRUŽNE CILINDRIČNE LJUSKE PRI ROTACIONO SIMETRIČNOM OPTEREĆENJU

Jedan od svakako najjednostavnijih problema iz teorije savijanja ljuški je cilindrična ljuška pri rotaciono simetričnom opterećenju. U tehničkim primenama ovaj zadatak se javlja takođe često. To su pre svega cilindrični rezervoari opterećeni vodom ili različitim tečnostima odnosno gasovima, kao i druge konstrukcije cilindričnog oblika kod kojih se javlja rotaciono simetrično opterećenje.

Isecimo iz ljuške elemenat (Sl. 30) sa dva para preseka  $x$  i  $x+dx$  odnosno  $\varphi$  i  $\varphi+d\varphi$ .



( Sl. 30 )

Pretpostavljajući rotaciono simetrično naprezanje i deformaciju sledeće presečne sile biće identički ravne nuli:

$$N_{\varphi x} = T_\varphi = M_{\varphi x} = 0,$$

dok su ostale samo funkcija koordinate  $x$ .

Isto tako je i opterećenje  $Y$  u pravcu tangente na krug jedнако nuli.

Opterećenje u pravcu  $x$  ose  $X(x)$  izaziva samo presečne sile  $N_x$ . Njihova veličina za zadato opterećenje  $X$  može se sračunati prema jednačini:

$$N_x = \frac{N}{2\pi a},$$

gde je sa  $N$  obeležena ukupna normalna sila za ceo poprečni presek silindra kao štapa.

Opterećenje  $X$  i presečnu silu  $N_x$  ćemo zbog toga isključiti iz daljeg posmatranja pa je ukupan broj nepoznatih presečnih sila jednak 4 i to su  $M_x$ ,  $T_x$ ,  $N_y$ ,  $M_y$ .

Uslovi ravnoteže sila koje deluju na prikazani element isečen iz ljske daju dve jednačine za određivanje presečnih sila.

Zbir momenata svih sila oko tangente na krug daje:

$$\frac{dM_x}{dx} - T_x = 0, \quad (\text{III.59a})$$

a zbir svih sila u pravcu normale na srednju površinu:

$$\frac{N_y}{a} + \frac{dT_x}{dx} + Z = 0. \quad (\text{III.59b})$$

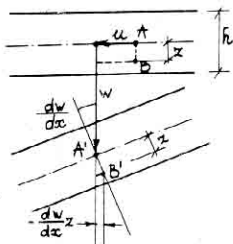
Ukupan broj nepoznatih u ove dve jednačine jednak je 3 pa je zadatak statički neodredjen. Da bi ga rešili moramo posmatrati deformaciju ljske. Izrazi za komponentne deformacije  $\epsilon_x$  i  $\epsilon_y$  odnosno  $\gamma_{xy}$  tačke srednje površi putem pomeraњa izvedene su ranije prilikom izučavanja membranske teorije cilindričnih ljski. Tako imamo (imajući u vidu rotaciono simetričnu deformaciju):

$$\epsilon_x = \frac{du}{dx}, \quad \epsilon_y = -\frac{w}{a}, \quad$$

Osnovna hipoteza za savijanje tankih ljski je, kao što smo napočetku istakli, tzv. Kirchoff-Love-ova hipoteza o upravnosti normale na srednju površi ljske i posle deformacije.

Iz ove hipoteze sledi neposredno da je pomeranje proizvoljne tačke ljske u pravcu  $x$  ose ravno (Sl. 31):

$$u_z = u - \frac{dw}{dx} z, \quad$$



pa je dilatacija  $\mathcal{E}x_z = \frac{du_z}{dx}$  vlakna na ostanju  $z$  od srednje površi:

$$\mathcal{E}x_z = -\frac{d^2w}{dx^2}z + \frac{du}{dx} \quad (\text{III.60})$$

S obzirom daje  $w_z = w$  imamo:

$$\mathcal{E}\epsilon_z = -\frac{w}{a} \quad (\text{III.61})$$

Na osnovu Hook-ovog zakona nalazimo:

$$\mathcal{G}_x = \frac{E}{(1-\nu^2)} (\mathcal{E}x_z + \nu \mathcal{E}\epsilon_z) = \frac{E}{1-\nu^2} \left( -z \frac{d^2w}{dx^2} - \nu \frac{w}{a} + \frac{du}{dx} \right), \quad (\text{III.62a,b})$$

$$\mathcal{G}_y = \frac{E}{(1-\nu^2)} (\mathcal{E}\epsilon_y + \nu \mathcal{E}x_z) = \frac{E}{1-\nu^2} \left( -\frac{w}{a} - \nu z \frac{d^2w}{dx^2} + \nu \frac{du}{dx} \right).$$

pa su presečne sile odredjene sledećim izrazima:

$$M_x = \int_{-h/2}^{+h/2} \mathcal{G}_x z dz = -\frac{E}{1-\nu^2} \int_{-h/2}^{+h/2} z \left( z \frac{d^2w}{dx^2} + \nu \frac{w}{a} - \frac{du}{dx} \right) dz = \\ = -\frac{E h^3}{12(1-\nu^2)} \frac{d^2w}{dx^2}, \quad (\text{III.63a,b})$$

$$N_x = \int_{-h/2}^{+h/2} \mathcal{G}_x dz = \frac{E h}{1-\nu^2} \left( \frac{du}{dx} - \nu \frac{w}{a} \right) = 0$$

$$N_y = \int_{-h/2}^{+h/2} \mathcal{G}_y dz = -\frac{E}{1-\nu^2} \int_{-h/2}^{+h/2} \left( \frac{w}{a} - \nu \frac{du}{dx} + \nu z \frac{d^2w}{dx^2} \right) dz = \frac{E h}{1-\nu^2} \left( \frac{w}{a} + \nu \frac{du}{dx} \right)$$

Obeležavajući

$$K = \frac{E h^3}{12(1-\nu^2)}$$

imamo:

$$M_x = -K \frac{d^2w}{dx^2} \quad (\text{III.64})$$

Iz izraza za  $N_x$  proizilazi da je  $\frac{du}{dx} = \nu \frac{w}{a}$ ,

tako da se izraz za  $N_y$  može konačno napisati u obliku:

$$N_y = -E h \frac{w}{a} \quad (\text{III.65})$$

Iz uslova ravnoteže možemo eliminisati transverzalnu silu  $T_x$ , pa dobijamo jednu jednačinu u kojoj figurišu nepoznate  $M_{xz}$  i  $N_e$

$$T_x = \frac{dM_{xz}}{dx} ,$$

$$\frac{d^2M_{xz}}{dx^2} + \frac{N_e}{a} = -Z .$$

Unoseći u ovu jednačinu izraze za  $M_{xz}$  i  $N_e$  putem pomeranja  $w$  dobijamo konačno diferencijalnu jednačinu cilindrične ljske ri rotaciono simetričnom opterećenju:

$$\frac{d^2}{dx^2} \left( K \frac{d^2w}{dx^2} \right) + \frac{Eh}{a^2} w = Z \quad (\text{III.66})$$

Za ljsku konstantne debljine tj. za  $h = \text{const.}$  imamo:

$$\frac{d^4w}{dx^4} + \frac{12(1-\nu^2)}{a^2 h^2} w = \frac{Z}{K} . \quad (\text{III.67})$$

Obelježavajući sa  $\beta^4 = \frac{3(1-\nu^2)}{a^2 h^2}$  prethodnu jednačinu možemo napisati u sledećem obliku:

$$\frac{d^4w}{dx^4} + 4\beta^4 w = \frac{Z}{K} \quad (\text{III.68})$$

Rešenje gornje jednačine prikazaćemo kao zbir opštег rešenja homogene diferencijalne jednačine i partikularnog integrala nehomogene jednačine:

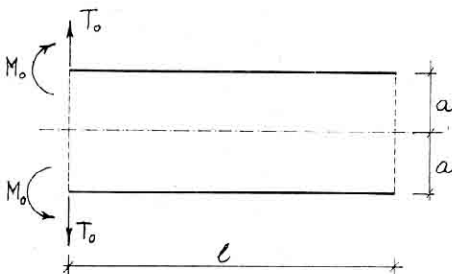
$$w = w_0 + e^{\beta x} (C_1 \cos \beta x + C_2 \sin \beta x) + e^{-\beta x} (C_3 \cos \beta x + C_4 \sin \beta x) \quad (\text{III.69})$$

#### 1. Duga cilindrična ljska

Uzmimo kao primer ljsku beskonačne dužine (sl. 32) opterećenu na jednom kraju ravnomerno rasporedjenim momentom  $M_0$  i transverzalnom silom  $T_0$ .

U tom slučaju je:

$$w_0 = 0$$



( Sl. 32 )

Ravnotežni sistem sila  $T_0$  i momenata  $M_0$  izaziva uticaje koji opadaju udaljavajući se od opterećenog kraja ljske, pa je za  $x \rightarrow \infty$ :

$$w = 0$$

iz čega proizilazi:

$$C_1 = C_2 = 0 .$$

Izraz za ugib je tada sledeći:

$$w = e^{\beta x} (C_3 \cos \beta x + C_4 \sin \beta x) . \quad (\text{III.70})$$

Konstante  $C_3$  i  $C_4$  odredjujemo iz graničnih uslova za  $x=0$  :

$$M_x = -K \left( \frac{d^2 w}{dx^2} \right) = M_0$$

$$T_x = -K \left( \frac{d^3 w}{dx^3} \right) = T_0 \quad (\text{III.71a,b})$$

Diferencirajući izraz za  $w$  dobijamo:

$$\frac{dw}{dx} = \beta e^{\beta x} \left[ (-C_3 + C_4) \cos \beta x + (-C_3 - C_4) \sin \beta x \right]$$

$$\frac{d^2 w}{dx^2} = 2\beta^2 e^{\beta x} \left[ -C_4 \cos \beta x + C_3 \sin \beta x \right]$$

$$\frac{d^3 w}{dx^3} = 2\beta^3 e^{\beta x} \left[ (C_4 + C_3) \cos \beta x + (C_4 - C_3) \sin \beta x \right]$$

Na osnovu izraza (III.71a,b) nalazimo:

$$2\beta^2 K C_4 = M_0$$

$$-2\beta^5 K (C_4 + C_5) = T_0 ,$$

odnosno:  $C_3 = -\frac{1}{2\beta^3 K} (T_0 + \beta M_0) , \quad C_4 = \frac{\beta M_0}{2\beta^3 K} .$

Konačno dobijamo:

$$w = -\frac{1}{2\beta^3 K} e^{-\beta x} \left[ (T_0 + M_0 \beta) \cos \beta x - M_0 \beta \sin \beta x \right]. \quad (\text{III.72})$$

Uvodjenjem funkcija:

$$\Psi(\omega) = e^{-\omega} (\cos \omega + \sin \omega)$$

$$\Psi(\omega) = e^{-\omega} (\cos \omega - \sin \omega)$$

$$\Theta(\omega) = e^{-\omega} \cos \omega$$

$$\Upsilon(\omega) = e^{-\omega} \sin \omega$$

$$\Psi'(\omega) = -2\Upsilon(\omega)$$

$$\Psi'(\omega) = -2\Theta(\omega)$$

$$\Theta'(\omega) = -\Psi(\omega) \quad (\text{III.73})$$

$$\Upsilon' = \Psi(\omega) ,$$

gde je  $\omega = \beta x$ , izraz za  $w$  i njegove izvode možemo napisati u sledećem obliku:

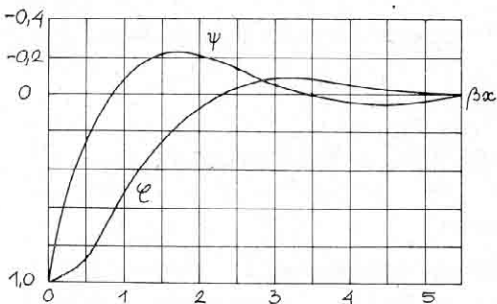
$$w = -\frac{1}{2\beta^3 K} \left[ \beta M_0 \Psi(\beta x) + T_0 \Theta(\beta x) \right]$$

$$\frac{dw}{dx} = \frac{1}{2\beta^2 K} \left[ 2\beta M_0 \Theta(\beta x) + T_0 \Psi(\beta x) \right] \quad (\text{III.74a, b, c})$$

$$\frac{d^2 w}{dx^2} = -\frac{1}{\beta K} \left[ \beta M_0 \Upsilon(\beta x) + T_0 \Psi(\beta x) \right]$$

$$\frac{d^3 w}{dx^3} = \frac{1}{K} \left[ 2\beta M_0 \Upsilon(\beta x) - T_0 \Psi(\beta x) \right]$$

Funkcije  $\varphi$ ,  $\psi$ ,  $\theta$  i  $\zeta$  prikazuju tok promene veličina koje definišu ugib i naprezanje ljeske. Sa sledećeg dijagrama vidi se da vrednosti  $\varphi$  i  $\psi$  (a isto to važi i za  $\theta$  i  $\zeta$ ) veoma brzo opadaju sa porastom  $\beta x$ . Tako se već za  $\beta x > 5$  može smatrati da su svi uticaji tako mali da se mogu zanemariti.



Ljeska takvih geometrijskih karakteristika da je  $\beta \ell > 5$ , gde je  $\ell$  dužina ljeske, opterećena sa  $T_0$  odnosno  $M_0$  ponašaće se kao ljeska beskonačne dužine.

Ljeske za koje važi rešenje (III.70) spadaju u klasu tzv. dugih cilindričnih ljeski.

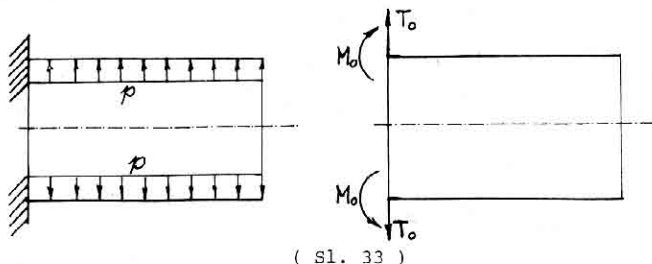
Pojam dužine treba shvatiti uslovno jer njega određuje izraz  $\beta \ell$ :

$$\beta \ell = \frac{1}{\sqrt{a h}} \sqrt[4]{3(1-\nu^2)} \ell$$

Iz ovog izraza je vidljivo da vrednost  $\beta \ell$  raste proporcionalno sa  $\ell$  ali obrnuto proporcionalno sa  $\sqrt{a h}$ . Smanjenje ili povećanje poluprečnika  $a$  i debljine ljeske  $h$  takođe utiče na to da li će jedna ljeska biti duga ili kratka.

Kao prvi primer uzmimo cilindričnu ljesku prikazanu na (Sl. 33), opterećenu unutrašnjim pritiskom  $Z = -p$ .

Partikularni integral predstavlja rešenje za cilindričnu ljesku prema bezmomentnoj teoriji. Naime, za opterećenje  $Z$  i za ljesku sa slobodnim krajevima važi rešenje prema bezmomentnoj teoriji, pa imamo:  $W_0 = -\frac{pa^2}{Eh}$



Izrazi za ugib i nagib su sledeći:

$$w = -\frac{1}{2\beta^3 K} (M_0 \beta \psi + T_0 \vartheta) - \frac{pa^2}{Eh},$$

(III.75a,b)

$$\frac{dw}{dx} = \frac{1}{2\beta^2 K} (2\beta M_0 \vartheta - T_0 \psi).$$

Granični uslovi za ljušku totalno uklještenu na le-vom kraju su:

$$x=0 \quad , \quad w = \frac{dw}{dx} = 0 \quad ,$$

pa nalazimo:

$$-\frac{1}{2\beta^3 K} (M_0 \beta + T_0) = \frac{pa^2}{Eh}$$

$$\frac{1}{2\beta^2 K} (2M_0 \beta + T_0) = 0,$$

i zatim:

$$M_0 = \frac{p}{\beta^2},$$

(III.76a,b)

$$T_0 = -\frac{2p}{\beta},$$

i konačno:

$$w = -p \left[ \frac{1}{2\beta^4 K} (\psi - 2\vartheta) + \frac{a^2}{Eh} \right].$$

(III.77)

Sledeći primer je rezervoar uklješten u temelje i ispunjen tečnošću (Sl. 34).

Opterećenje rezervoara je:

$$Z = -\delta(\ell-x) \quad (\text{III.78})$$

pa je:

$$w_0 = -\frac{\delta(\ell-x)a^2}{Eh} \quad (\text{III.79})$$

a izraz za ugib :

$$w = -\frac{1}{2\beta^3 K} [M_0\beta\psi + T_0\theta] - \frac{\delta(\ell-x)}{Eh} a^2 \quad (\text{III.80})$$

Iz graničnih uslova

$$x=0, \quad w=0 \quad ; \quad \frac{dw}{dx}=0 \quad ,$$

odnosno iz jednačina

$$\frac{1}{2\beta^3 K} (M_0\beta + T_0) = -\frac{\delta a^2}{Eh} \ell$$

$$\frac{1}{2\beta^2 K} (2M_0\beta + T_0) = -\frac{\delta a^2}{Eh} \quad ,$$

nalazimo vrednosti  $M_0$  i  $T_0$  :

$$M_0 = 2 \frac{\delta a^2 \ell}{Eh} \beta^2 K \left(1 - \frac{1}{\beta \ell}\right),$$

(III.81a,b)

$$T_0 = 2 \frac{\delta a^2 \ell}{Eh} \beta^3 K \left(\frac{1}{\beta \ell} - 2\right),$$

i konačno rešenje za ugib:

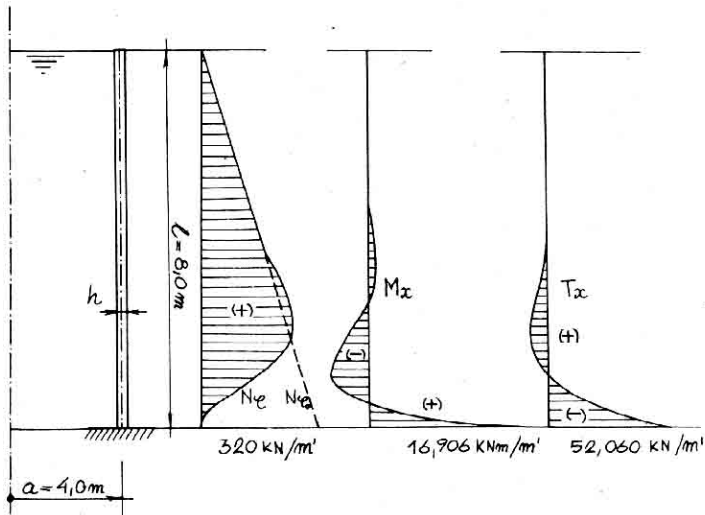
$$w = \frac{-\delta a^2 \ell}{Eh} \left[1 - \frac{x}{\ell} - \psi(\beta x) + \frac{1}{\beta \ell} \cdot \psi'(\beta x)\right]. \quad (\text{III.82})$$

za  $N_e$  i  $M_x$  prema (III.64) i (III.65) nalazimo:

$$N_e = 8\ell a \left[ 1 - \frac{x}{\ell} - \gamma(\beta x) + \frac{1}{\beta \ell} \zeta(\beta x) \right] \quad (\text{III.83a, b})$$

$$M_x = -K \frac{d^2 w}{dx^2} = \frac{2\beta^2 \gamma a^2 K \ell}{E h} \left[ -\zeta(\beta x) + \left( 1 - \frac{1}{\beta \ell} \theta(\beta x) \right) \right]$$

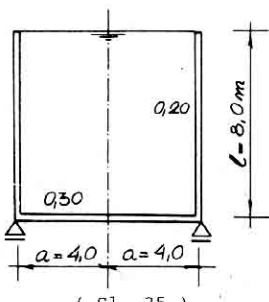
za  $\ell = 8,0 \text{ m}$ ,  $a = 4,0 \text{ m}$ ,  $h = 0,20 \text{ m}$ ,  $\gamma = 10 \text{ kN/m}^3$ ,  $E = 2,1 \times 10^7 \text{ kN/m}^2$  prikazani su na (Sl. 34) dijagrami  $N_e$ ,  $M_x$  i  $T_x$ .



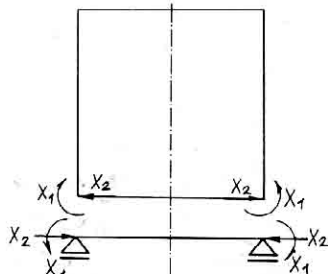
( Sl. 34 )

2. Primer proračuna cilindričnog rezervoara sa kružnom pločom slobodno oslonjenom po konturi

Armiran betonski rezervoar prikazan na (sl. 35) napunjenvodom, predstavlja sistem sastavljen od cilindrične ljuške i kružne ploče. Izvršićemo dekompoziciju sistema na cilindričnu ljušku i kružnu ploču. Na taj način dobijamo tzv. osnovni sistem, pri čemu na svaki deo deluju, pored zadatog opterećenja i nepoznati momenat savijanja  $X_1$  i horizontalne radikalne sile  $X_2$ , kako je prikazano na (sl. 36.)



( Sl. 35 )



( Sl. 36 )

Za cilindričnu ljušku nalazimo:

$$\beta = \sqrt[4]{\frac{3(1-\nu^2)}{\alpha^2 \delta^2}} = 1,46191$$

$$\beta l = 11,696,$$

pa se ljuška može smatrati dugom cilindričnom ljuškom.

Krutost ljuške i ploče su sledeće:

$$\frac{K_{CL}}{E} = \frac{\delta_{CL}^3}{12(1-\nu^2)} = 0,68 \cdot 10^{-3}$$

$$\frac{K_{PL}}{E} = \frac{\delta_{PL}^3}{12(1-\nu^2)} = 2,31 \cdot 10^{-3}$$

Uslovi kompatibilnosti deformacija duž kontakta ploče i ljske mogu se izraziti slično kao i u metodi sila linijskih nosača.

$$\delta_{11} X_1 + \delta_{12} X_2 + \delta_{10} = 0$$

$$\delta_{21} X_1 + \delta_{22} X_2 + \delta_{20} = 0$$

(III.84a,b)

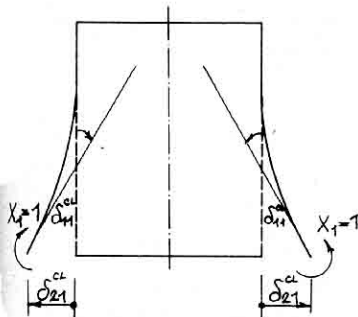
pri čemu koeficijenti  $\delta_{ik}$  ( $i, k = 1, 2$ ) predstavljaju odgovarajuća relativna obrtanja odnosno pomeranja sučeljnih delova za jedinične vrednosti sila  $X_k = 1$ , a vrednosti  $\delta_{i0}$  iste uticaje izazvane zadatim opterećenjem.

Za cilindričnu ljsku ove vrednosti su date u tački 1. Tako je obrtanje izvodnice za  $x=0$ , izazvano momentom  $X_1=1$  jednak (sl. 37)

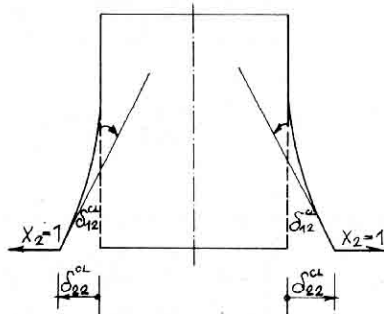
$$E\delta_{11}^{cl} = \frac{1}{K_{cl}\beta} = 999,788,$$

a horizontalno pomeranje izazvano istim momentom:

$$E\delta_{21}^{cl} = \frac{1}{2K_{cl}\beta^2} = 341,947.$$



( Sl. 37 )

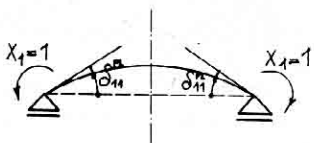


( Sl. 38 )

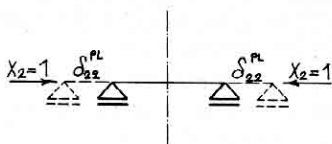
i dalje na sličan način za  $X_2 = 1$

$$E\delta_{22}^{cl} = \frac{1}{2K_{cl}\beta^3} s = 233,903$$

$$E\delta_{12}^{cl} = \frac{1}{2K_{cl}\beta^2} = 341,947$$



( Sl. 39 )



( Sl. 40 )

Za kružnu ploču vrednosti  $\delta_{ik}$  nalazimo na osnovu poglavlja o savijanju kružne ploče (ploče napregnute na savijanje, tačka 6.2). Za opterećenje momentom  $X_1 = 1$  na konturi (sl. 39) dobijamo:

$$E\delta_{11}^{pl} = \left( \frac{dw}{dr} \right)_{r=a} = \frac{a}{K_R(1+\nu)} ,$$

što daje

$$E\delta_{11}^{pl} = 1493,333 .$$

Treba napomenuti da se znak za  $\delta_{ik}$ , kao i u teoriji linijskih nosača, određuje prema pozitivno usvojenom znaku za  $X_i = 1$ .

Koeficijent  $\delta_{22}^{pl}$  (sl. 40) određuje se kao pomeraњe  $u$  ploče napregnute u svojoj ravni za  $r=a$ , a usled opterećenja  $X_2 = 1$ .

za taj slučaj opterećenja je

$$F = Br^2, \quad N_r = \frac{1}{r} \frac{dF}{dr} = 2B, \quad N_\varphi = \frac{d^2F}{dr^2} = 2B,$$

Iz graničnog uslova:

$$r=a \quad N_r = -1$$

nalazimo

$$B = -\frac{1}{2},$$

pa je:

$$N_r = N_\varphi = -1$$

i dalje

$$\mathcal{E}_\varphi = -\frac{1}{Eh}(1-\nu).$$

Radijalno pomeranje  $u$  dato je sa:  $u = -r\mathcal{E}_\varphi$ ,  
pa je:

$$E\delta_{22}^{rr} = E(u)_{r=a} = \frac{a}{h}(1-\nu) = 11,200.$$

Koeficijent  $\delta_{12}^{rr} = \delta_{21}^{rr}$  jednak je nuli.

Ukupne vrednosti koeficijenata  $\delta_{ik}$ :

$$\delta_{ik} = \delta_{ik}^{cl} + \delta_{ik}^{rr}$$

date su u sistemu uslovnih jednačina:

$X_1$	$X_2$	$\delta_{10}$	
2,493	0,341	-238,153	$10^3/E$
0,341	0,245	6,400	$10^3/E$

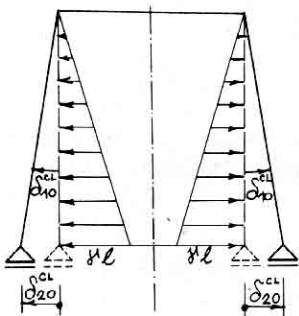
Slobodni članovi  $\delta_{10}^{cl}$  i  $\delta_{20}^{cl}$  za cilindričnu ljušku (sl. 41) dobijaju se iz rešenja prema membranskoj teoriji:

$$Ed\delta_{10}^{cl} = \frac{\alpha^2 \gamma}{h} = 0,800 \times 10^5$$

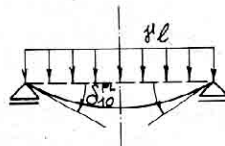
$$Ed\delta_{20}^{cl} = \frac{\alpha^2 \gamma l}{h} = 6,400 \times 10^3$$

Vrednosti  $\delta_{10}^{pl}$  i  $\delta_{20}^{pl}$  nalazimo iz rešenja za slobodno oslonjenu ploču opterećenu ravnomernim opterećenjem  $Z = \mu \cdot L$  (sl. 42)

$$Ed\delta_{10}^{pl} = -\frac{\mu l a^3}{8K_p(1+\nu)} = -238,933 \times 10^3, Ed\delta_{20}^{pl} = 0$$



( Sl. 41 )



( Sl. 42 )

Ukupne vrednosti  $\delta_{10}$  i  $\delta_{20}$  date su u sistemu jedinica. Rešenjem sistema nalazimo:

$$X_1 = 122,546 \text{ kNm/m'}$$

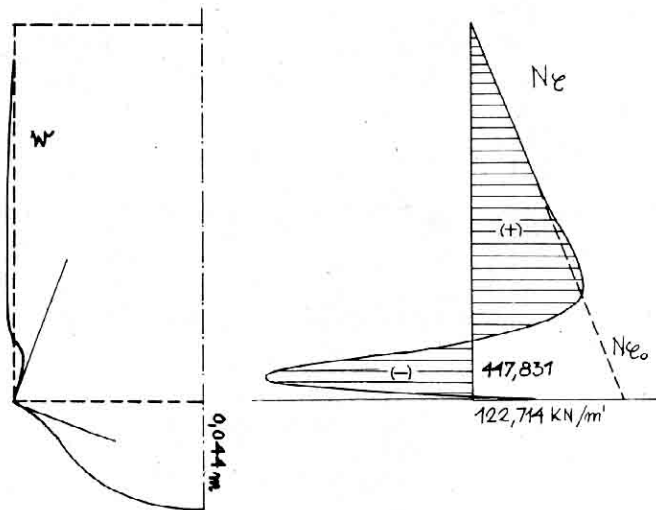
$$X_2 = -197,076 \text{ kN/m'}$$

Pojedine uticaje (sile u presecima i pomeranja) nalazimo superpozicijom za svaki deo sistema:

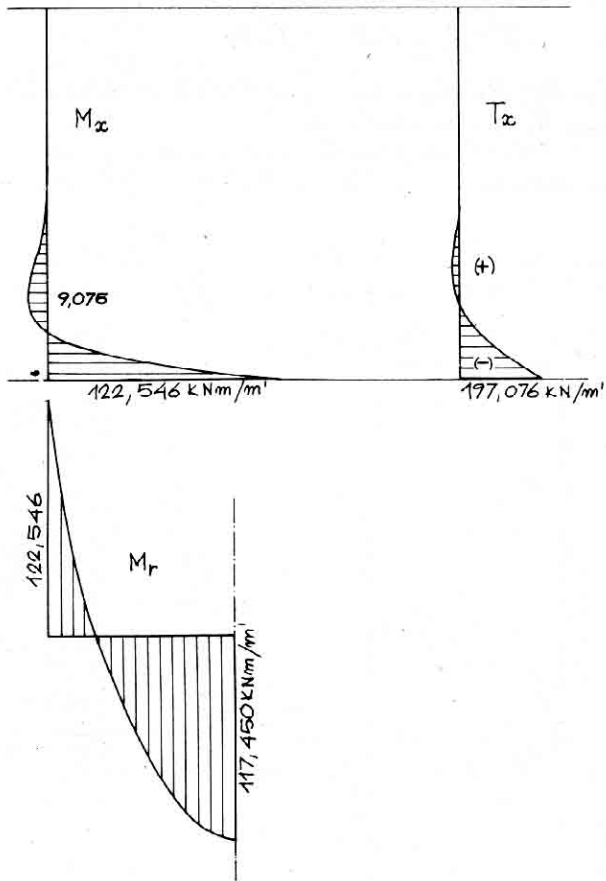
$$Z = Z_0 + X_1 Z_1 + X_2 Z_2$$

gde su  $Z_0, Z_1, Z_2$  uticaji izazvani opterećenjem, momentom savijanja  $X_1 = 1$  i silama  $X_2 = 1$ .

Dijagrami presečnih sila i pomeranja dati su na sledećim slikama.



( Sl. 43 )



( Sl. 44 )

### 3. Kratka cilindrična ljsuska

Rešenje diferencijalne jednačine

$$\frac{d^4 w}{dx^4} + 4\beta^4 w = 0 \quad (\text{III.85})$$

prikazaćemo primenom hiperboličkih funkcija u obliku:

$$w = \bar{C}_1 ch \beta x \cos \beta x + \bar{C}_2 ch \beta x \sin \beta x + \\ + \bar{C}_3 sh \beta x \cos \beta x + \bar{C}_4 sh \beta x \sin \beta x . \quad (\text{III.86})$$

Uvodjenjem funkcija:

$$\varphi_1(\alpha) = ch \alpha \cos \alpha$$

$$\varphi_2(\alpha) = \frac{1}{2} (ch \alpha \sin \alpha + sh \alpha \cos \alpha) \quad (\text{III.87})$$

$$\varphi_3(\alpha) = \frac{1}{2} sh \alpha \sin \alpha$$

$$\varphi_4(\alpha) = \frac{1}{4} (ch \alpha \sin \alpha - sh \alpha \cos \alpha)$$

izraz za  $w$  može se napisati i na sledeći način:

$$w = C_1 \varphi_1(\beta x) + C_2 \varphi_2(\beta x) + C_3 \varphi_3(\beta x) + C_4 \varphi_4(\beta x), \quad (\text{III.88})$$

gde je  $\alpha = \beta x$ .

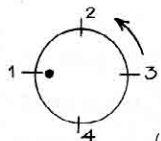
Tabela diferenciranja funkcija  $\varphi_i(\alpha)$

$m$	$\varphi'_m$	$\varphi''_m$	$\varphi'''_m$	$\varphi^{(4)}_m$
1	$-4\varphi_4$	$-4\varphi_3$	$-4\varphi_2$	$-4\varphi_1$
2	$\varphi_1$	$-4\varphi_1$	$-4\varphi_3$	$-4\varphi_2$
3	$\varphi_2$	$\varphi_1$	$-4\varphi_4$	$-4\varphi_3$
4	$\varphi_3$	$\varphi_2$	$\varphi_1$	$-4\varphi_4$

za  $\alpha = 0$  imamo:

$$\varphi_1(0) = 1, \quad \varphi_2(0) = \varphi_3(0) = \varphi_4(0) = 0.$$

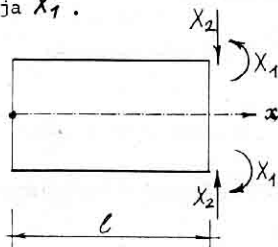
Funkcije  $\varphi_m(\alpha)$ ,  $m=1, 2, 3, 4$  imaju tu osobinu da prilikom diferenciranja prelaze jedna u drugu kako je to prikazano u pret-  
hodnoj tabeli.



( Sl. 45 )

Treba primetiti da se taj prelaz odvija u odnosu na  $m$  onako kako je to prikazano na krugu (Sl. 45) idući smerom suprotnim od kazaljke na satu. Pri prelasku sa  $m=1$  na  $m=4$  treba izvršiti množenje sa faktorom -4.

Posmatrajmo sada cilindričnu ljušku konačne dužine  $\ell$  (Sl. 46) opterećenu spoljnom transverzalnom silom  $X_2$  i podeljenim momentom savijanja  $X_1$ .



( Sl. 46 )

Za  $x=0$ , s obzirom da se radi o slobodnom kraju, moraju biti zadovoljeni sledeći granični uslovi.

$$x=0$$

$$\frac{d^2 w}{dx^2} = 0, \quad \frac{d^3 w}{dx^3} = 0;$$

za  $x=\ell$  dati su uslovi:

$$\frac{d^2 w}{dx^2} = -\frac{X_1}{K}, \quad \frac{d^3 w}{dx^3} = -\frac{X_2}{K};$$

Iz prva dva uslova sledi:  $C_3 = C_4 = 0$ ,  
pa imamo:

$$w = C_1 \varphi_1(\beta x) + C_2 \varphi_2(\beta x).$$

Druga dva uslova daju jednačine:

$$\frac{1}{\beta^2} \left( \frac{d^2 w}{dx^2} \right)_{x=\ell} = 4C_1 \mathcal{C}_3(\beta \ell) - 4C_2 \mathcal{C}_4(\beta \ell) = - \frac{X_1 \beta}{K \beta^5},$$

$$\frac{1}{\beta^3} \left( \frac{d^3 w}{dx^3} \right)_{x=\ell} = 4C_1 \mathcal{C}_2(\beta \ell) - 4C_2 \mathcal{C}_3(\beta \ell) = - \frac{X_2}{K \beta^5}.$$

Rešenjem nalazimo:

$$C_1 = \frac{1}{4K\beta^3} \frac{1}{\Delta} \left[ \beta X_1 \mathcal{C}_3(\beta \ell) - X_2 \mathcal{C}_4(\beta \ell) \right],$$

$$C_2 = \frac{1}{4K\beta^3} \frac{1}{\Delta} \left[ X_2 \mathcal{C}_3(\beta \ell) - \beta X_1 \mathcal{C}_2(\beta \ell) \right],$$

(III.89a, b, c)

$$\begin{aligned} \Delta &= \mathcal{C}_3^2(\beta \ell) - \mathcal{C}_2(\beta \ell) \mathcal{C}_4(\beta \ell) = \frac{1}{4} sh^2 \alpha \sin^2 \alpha - \frac{1}{8} ch^2 \alpha \sin^2 \alpha + \\ &+ \frac{1}{8} sh^2 \alpha \cos^2 \alpha = \frac{1}{8} (sh^2 \alpha - \sin^2 \alpha), \end{aligned}$$

i konačno

$$\begin{aligned} w &= \frac{1}{K\beta^2} \frac{2}{sh^2 \alpha - \sin^2 \alpha} \left\{ X_1 \beta \left[ \mathcal{C}_3(\beta \ell) \mathcal{C}_1(\beta x) - \mathcal{C}_2(\beta \ell) \mathcal{C}_2(\beta x) \right] \right. \\ &\quad \left. + X_2 \left[ \mathcal{C}_3(\beta \ell) \mathcal{C}_2(\beta x) - \mathcal{C}_4(\beta \ell) \mathcal{C}_1(\beta x) \right] \right\}. \end{aligned} \quad (\text{III.90})$$

Uzmimo sad kao primer rezervoar dužine  $\ell$  ispunjen tečnošću za koji pretpostavljamo da je  $\beta \ell \leq 5$ , tako da se mora analizirati kao kratka ljuška.

Iz graničnih uslova  $x=0, T_x=M_x=0$  imamo kao i ranije  $C_3=C_4=0$ .

Integracione konstante u rešenju

$$w = C_1 \psi_1(\beta x) + C_2 \psi_2(\beta x) - \frac{\delta a^2}{Eh} x , \quad (\text{III.91})$$

nalazimo iz uslova

$$x = l : \quad w = \frac{dw}{dx} = 0 ,$$

odnosno iz jednačina:

$$C_1 \psi_1(\beta l) + C_2 \psi_2(\beta l) = \frac{\delta a^2}{Eh} l ,$$

(III.92a,b)

$$-4C_1 \psi_4(\beta l) + C_2 \psi_1(\beta l) = \frac{\delta a^2}{Eh} \frac{1}{\beta} .$$

Rešenjem nalazimo:

$$C_1 = \frac{1}{\Delta} \frac{\delta a^2}{Eh} l \left[ \psi_1(\beta l) - \frac{1}{\beta l} \psi_2(\beta l) \right] ,$$

(III.93a,b)

$$C_2 = \frac{1}{\Delta} \frac{\delta a^2}{Eh} l \left[ \frac{1}{\beta l} \psi_1(\beta l) \right] ,$$

gde je:

$$\Delta = \psi_1^2(\beta l) + 4 \psi_4(\beta l) \psi_2(\beta l) .$$

Izraz za ugib napisaćemo u obliku

$$w = - \frac{\delta a^2}{Eh} l \left[ \frac{x}{l} - \bar{C}_1 \psi_1(\beta x) - \bar{C}_2 \psi_2(\beta x) \right] , \quad (\text{III.94})$$

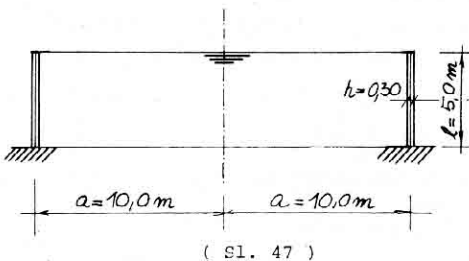
gde je:

$$\bar{C}_1 = \frac{Eh}{\pi a^2 l} C_1 , \quad \bar{C}_2 = \frac{Eh}{\pi a^2} C_2 .$$

za  $M_x$  dobijamo izraz:

$$M_x = -\frac{1}{3} \frac{\frac{4a^2 h^2 \beta^2 \ell}{(1-\nu^2)}}{\left[ C_1 \mathcal{C}_3(\beta x) + C_2 \mathcal{C}_4(\beta x) \right]} \quad (\text{III.95})$$

Za ljsuku prikazanu na sledećoj slici nalazimo, uzimajući  $\nu = 0$  i  $\gamma = 10 \text{ kN/m}^3$  i  $E = 2,1 \times 10^7 \text{ kN/m}^2$ :

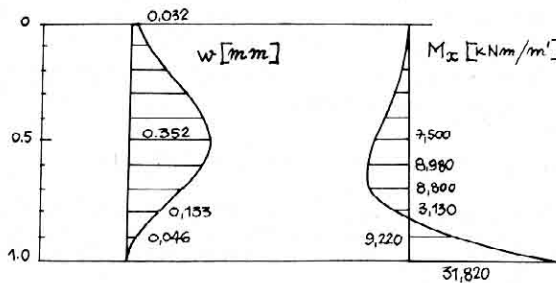


$$\beta = 0,7598 \cdot 10^{-2} \quad \beta \ell = 3,779 < 5$$

$$C_1 = -0,05417 \frac{4a^2}{Eh} \ell \quad C_2 = -0,00267 \frac{4a^2}{Eh} \ell$$

$$M_x = \frac{4a^2 h^2 \beta^2 \ell}{3} \left[ 0,05417 \mathcal{C}_3(\beta x) + 0,00267 \mathcal{C}_4(\beta x) \right]$$

Dijagrami  $w$  i  $M_x$  prikazani su na (Sl. 48).



( Sl. 48 )

#### 4. Cilindrična ljska promenljive debljine

##### Numeričko rešenje primenom metode integralnih jednačina

Ovde će biti data primena autorovog metoda integralnih jednačina\* na problem kružne cilindrične ljske čija je debljina promenljiva duž izvodnice.

Posmatrajmo cilindrični rezervoar uklješten u temelje i sa gornjim slobodnim krajem.

Ako uvedemo oznaku

$$p(x) = \int(x) - \frac{Eh}{\alpha^2} w, \quad (\text{III.96})$$

jednačinu (III. 66) možemo prepisati u obliku

$$\frac{d^2}{dx^2} \left( K \frac{d^2 w}{dx^2} \right) = p(x). \quad (\text{III.97})$$

Ovu jednačinu možemo shvatiti kao diferencijalnu jednačinu za ugib grednog nosača krutosti  $EJ=K$ , a funkciju  $p(x)$  kao opterećenje toga nosača. Vrednosti funkcije  $W$  se tada mogu izraziti integralnom jednačinom

$$w(x) = \int_0^x b(x, \xi) p(\xi) d\xi, \quad (\text{III.98})$$

gde je  $b(x, \xi)$  Green-ova funkcija jednačine (III. 97) za granične uslove

$$x=0 \quad M_x=0, \quad T_x=0,$$

$$x=\ell \quad w=0, \quad \frac{dw}{dx}=0,$$

Za neke druge granične uslove treba u svakom pojedinačnom slučaju izabrati odgovarajuću Green-ovu funkciju.

U ovom slučaju dijagram ove funkcije nije ništa drugo do uticajna linija za ugib konzole promenljive krutosti  $EJ = \frac{Eh^3}{12(1-\nu^2)}$  u preseku  $x$ .

Unoseći izraz (III. 98) u jednačinu (III. 96) do-

\*) N.Hajdin: Postupak za numeričko rešavanje graničnih zadataka i njegova primena na neke probleme teorije elastičnosti. Zbornik Gradjevinskog fakulteta u Beogradu, 4., 1958.

bijamo integralnu jednačinu

$$p(x) + \frac{Eh}{a^2} \int_0^x b(x, \xi) p(\xi) d\xi = Z(x). \quad (\text{III.99})$$

vrednost određenog integrala u jednačini (III. 99) može se primenom nekog od načina numeričke integracije izraziti putem vrednosti podintegralne veličine u određenom nizu tačaka  $\xi_M (M=1,2,\dots)$  obliku:

$$\sum_{\mu=1}^M b(x, \xi_\mu) p(\xi_\mu) \alpha_\mu,$$

gde su  $\alpha_\mu$  konstante koje zavise od postupaka numeričke integracije, a čitava jednačina napisati

$$p(x) + \frac{Eh}{a^2} \sum_{\mu=1}^M b(x_0, \xi_\mu) p(\xi_\mu) \alpha_\mu = Z(x). \quad (\text{III.100})$$

Integralnu jednačinu (III. 99) odn. jednačinu (III. 100) možemo zameniti sistemom linearnih algebarskih jednačina. Ako u intervalu  $(0, l)$  izaboremo niz tačaka  $\{x_m\}_{m=1,2,\dots,M}$  koje mogu ali ne moraju da se poklapaju sa tačkama  $\{\xi_\mu\}$ , i stavimo  $x=x_m$   $m=1,2,\dots,M$  dobijemo:

$$p(x_m) + \frac{Eh(x_m)}{a^2} \sum_{\mu=1}^M b(x_m, \xi_\mu) p(\xi_\mu) \alpha_\mu = Z(x_m), \quad (\text{III.101})$$

$$m=1,2,\dots,M.$$

Ako, jednostavnosti radi, stavimo

$$p(x_m) = p_m, \quad p(\xi_\mu) = \bar{p}_\mu, \quad Z(x_m) = Z_m,$$

$$b(x_m, \xi_\mu) = b_{m\mu}, \quad h(x_m) = h_m,$$

sistem jednačina (III.101) možemo napisati:

$$p_m + \frac{Eh_m}{a^2} \sum_{\mu=1}^M b_{m\mu} p_\mu \alpha_\mu = Z_m, \quad m=1,2,\dots,M \quad (\text{III.102})$$

Putem pravougaone matrice  $\mathbf{b} = [b_{ij}]$  i  $\mathbf{F} = \left[ \frac{Eh_i}{a^2} \right]_{i=1,2,\dots,M}$  sistem jednačina (III.102) može se izraziti:

$$p + \mathbf{Fb} \alpha \bar{p} = Z, \quad (\text{III.103})$$

gde su  $p_i$  i  $Z_i$  vektori sa koordinatama  $p_{i1} \dots p_{iM}$  a  $\bar{p}$  vektor sa koordinatama  $\bar{p}_1 \dots \bar{p}_{\bar{M}}$

U sistemu jednačina (III.101) nepoznate su vrednosti  $p_m$  i  $\bar{p}_\mu$  čiji je broj jednak broju jednačina samo u slučaju kada je  $M = \bar{M}$  a tačke  $x_m$  se poklapaju sa tačkama  $\bar{x}_\mu$ . U svakom drugom slučaju broj nepoznatih veći je od broja jednačina sistema.

Vrednosti

$$\bar{p}_1, \bar{p}_2, \dots, \bar{p}_\mu, \dots, \bar{p}_{\bar{M}}$$

u datim jednačinama, međutim, možemo linearno izraziti pomoću vrednosti

$$p_1, p_2, \dots, p_m, \dots, p_M$$

U opštem slučaju možemo napisati

$$p_\mu = \sum_{k=1}^M L_{\mu k} p_k, \quad \mu = 1, 2, \dots, \bar{M}$$

gde su  $L_{\mu k}$  koeficijenti koji zavise od načina interpolacije, pa će broj nepoznatih u jednačinama (III.101) biti jednak broju jednačina.

Ako uvedemo matricu

$$L = \begin{bmatrix} L_{11} & L_{12} & \dots & L_{1M} \\ L_{21} & L_{22} & \dots & L_{2M} \\ \vdots & \vdots & \ddots & \vdots \\ L_{\bar{M}1} & L_{\bar{M}2} & \dots & L_{\bar{M}M} \end{bmatrix},$$

biće

$$p = L p,$$

pa umesto jednačina (III.103) dobijamo

$$(I + FB)p = Z \quad (\text{III.104})$$

gde je  $I$  jednačina matrica, a  $B = b \otimes I$ . Iz jednačine (III.104) određuje se vektor  $p$ .

Iz nadjenih vrednosti  $p_i$  na osnovu jednačine (III.104) dobijemo:

$$w = F^{-1}(Z - p). \quad (\text{III.105})$$

Momente savijanja  $M_x$  prema izrazu (III.64) dobijemo diferenciranjem jednačine (III.98) po parametru  $x$

$$M_x = -K \frac{d^2 w}{dx^2} = - \int K b''(x, \xi) p(\xi) d\xi ,$$

gde je  $-K b''(x, \xi)$  uticajna funkcija za momenat savijanja odgovarajućeg grednog nosača. Primenom numeričke integracije, slično kao i u slučaju jednačine (III. 99), vrednosti momenata savijanja izrazićemo u matričnom obliku

$$M_x = -(KB'')p , \quad (\text{III.106})$$

gde je

$$(KB'') = (Kb'') \alpha L , \quad (Kb'') = \begin{bmatrix} (Kb'')_{ij} \end{bmatrix}$$

$$i = 1, 2, \dots, M , \quad j = 1, 2, \dots, \bar{M}$$

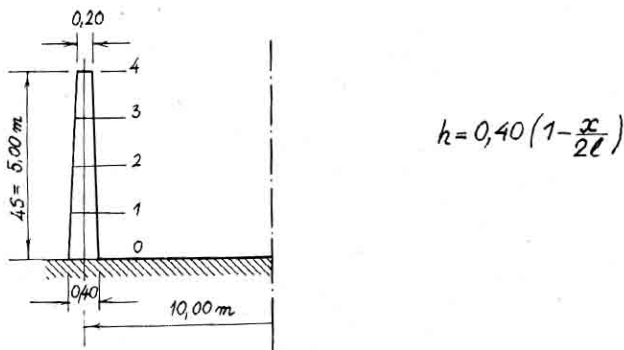
Isto tako shodno jednačini (III.71b) dobijamo i izraze za transverzalne sile

$$T_x = -(Kw'')' = - \int (Kb'')'(x, \xi) p(\xi) d\xi ,$$

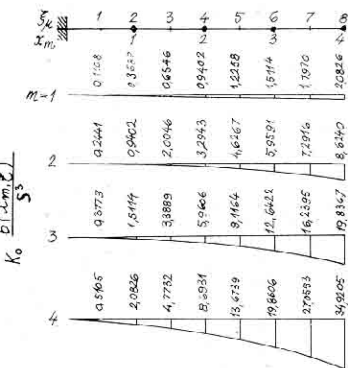
odnosno primenom numeričke integracije

$$T_x = -(KB'')'p . \quad (\text{III.107})$$

Uzmimo kao primer cilindrični rezervoar visine  $\ell = 5,0$  m, prečnika  $d = 10,0$  m, sa jednim uklještenjem a drugim slobodnim krajem. Debljina rezervoara neka je linearno promenljiva (Sl. 49)



Visinu rezervoara podelićemo na četiri jednakaka dela dužine  $S=1,25$  m i odrediti uticajne linije za ugib konzole (s obzirom da je  $W(0)=W'(0)=0$  i  $Kw''(l)=(Kw'')(l)=0$ ) u tačkama  $x_m$ ,  $m=1,2,3$  i 4. Ordinate uticajnih linija sračunaćemo na način koji je u Statici konstrukcija uobičajen tj. pomoću tzv. "elastičnih težina". Na (sl. 50) date su ordinate uticajnih linija, odnosno elementi matrice  $b$ . Tačke  $\xi_m$  u kojima su sračunate ordinate uticajnih linija usvojene su na razmacima  $S=\frac{S}{2}$ .



( sl. 50 )

$$b = \frac{S^3}{K_0} \begin{bmatrix} 0,1108 & 0,3689 & 0,6546 & 0,9402 & 1,2258 & 1,5114 & 1,7970 & 2,0826 \\ 0,2441 & 0,9402 & 2,0046 & 3,2943 & 4,6267 & 5,9591 & 7,2916 & 8,6240 \\ 0,3773 & 1,5114 & 3,3889 & 5,9606 & 9,1164 & 12,6422 & 16,2395 & 19,8367 \\ 0,5105 & 2,0826 & 4,7732 & 8,6331 & 13,6739 & 19,8606 & 27,0553 & 34,9205 \end{bmatrix}$$

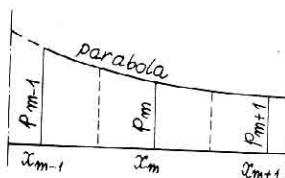
Numeričku integraciju izvršićemo primenom Simpson-ovog pravila. U tom slučaju matrica  $\alpha$  ima ovaj oblik:

$$\alpha = \frac{S}{6} \begin{bmatrix} 4 & 2 & 4 & 2 & 4 & 2 & 4 & 1 \end{bmatrix}$$

Ordinate nepoznate funkcije  $p(x)$  u tačkama  $x_p$ ,  
 $\mu = 1, 2, 3, \dots, 8$  sračunaćemo iz ordinata funkcije  $p(x)$  u tačkama  $x_m$   
 $0, 1, 2, \dots, 4$  putem interpolacije.

Za izračunavanje ordinata  $\bar{p}_{2m-1}$  smatraćemo da je funkcija  $p$  u intervalu  $x_{m-1} < x < x_{m+1}$  data kvadratnom parabolom određenom iz ordinata  $p_{m-1}, p_m, p_{m+1}$ . U tom slučaju dobijamo:

$$\bar{p}_{2m-1} = \frac{1}{8} (3p_{m-1} + 6p_m - p_{m+1}).$$



Vrednost  $\bar{p}_1$  neka je data kao ordinata parabole određene iz ordinata  $p_1, p_2$  i  $p_3$ :

$$\bar{p}_1 = \frac{1}{8} (15p_1 - 10p_2 + 3p_3),$$

a  $p_3$  izrazom:

$$\bar{p}_3 = \frac{1}{8} (-p_2 + 6p_3 + 3p_4).$$

Prema tome matrica  $L$  je sledeća:

$$L = \frac{1}{8} \begin{bmatrix} 15 & -10 & 3 \\ 8 & & \\ 3 & 6 & -1 \\ & 8 & \\ 3 & 6 & -1 \\ & 8 & \\ -1 & 6 & 3 \\ & 8 & \end{bmatrix}$$

Izvršimo li potrebna množenja  $\alpha L$  dobijamo:

$$\alpha L = \frac{S}{12} \begin{bmatrix} 15 & -10 & 3 \\ 4 & 6 & -1 \\ 3 & 4 & 3 \\ & 3 & 6 \\ & 4 & -1 \\ -1 & 6 & 3 \\ & & 2 \end{bmatrix},$$

zatim množenjem i matricu  $B = b \times L$ :

$$B = \frac{S^4}{12K_0} \begin{bmatrix} 5,1014 & 8,4608 & 23,8602 & 8,3304 \\ 13,4361 & 29,3523 & 94,0739 & 34,4961 \\ 21,8718 & 51,5125 & 200,4472 & 79,2755 \\ 30,3075 & 72,0330 & 320,5759 & 137,3320 \end{bmatrix}$$

Dijagonalna matrica  $F$  sa elementima  $f_i = \frac{Eh_i}{a^2}$  je sledeća:

$$F = \frac{Eh_i}{a^2} \begin{bmatrix} 0,875 & & & \\ & 0,750 & & \\ & & 0,625 & \\ & & & 0,500 \end{bmatrix}, h_i = 0,40 \text{ m}$$

Izvršenjem operacija naznačenih u jednačini (III.104) dobijamo konačno sistema jednačina iz koga određujemo koordinate vektora  $p$ .

$$\begin{bmatrix} 1,6811 & 1,1296 & 3,1856 & 1,1122 \\ 1,5376 & 4,3591 & 10,7659 & 3,9478 \\ 2,0859 & 4,9126 & 20,1162 & 7,5603 \\ 2,3123 & 5,4957 & 24,4580 & 11,4776 \end{bmatrix} p = \begin{bmatrix} 37,5 \\ 25,0 \\ 12,5 \\ 0,0 \end{bmatrix}$$

Rešenjem nalazimo:

$$p = \begin{bmatrix} 24,96 \\ 4,32 \\ -1,78 \\ -3,30 \end{bmatrix},$$

a iz jednačina (III.105) i (III.65) neposredno i vrednosti ugiba  $w$  i normalne sile  $N_e$

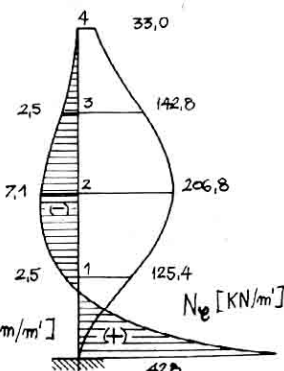
$$w = \frac{a^2}{E h_0} \begin{bmatrix} 14,33 \\ 27,57 \\ 22,85 \\ 6,60 \end{bmatrix} \quad ; \quad N_e = \frac{a h_i}{h_0} \begin{bmatrix} 14,33 \\ 27,57 \\ 22,85 \\ 6,60 \end{bmatrix}$$

Ako sada, na isti način kao što smo formirali matricu formiramo i matricu ( $KB''$ ) na osnovu uticajnih linija za momenat savijanja u presecima  $x_m$ ,  $m=0, 1, 2, 3$  i  $4$ .

$$(KB'') = \frac{S^2}{12} \begin{bmatrix} 16,0 & 16,0 & 48,0 & 16,0 \\ 1,5 & 9,0 & 31,5 & 12,0 \\ 0 & 0 & 16,0 & 8,0 \\ 0 & -0,5 & 3,0 & 3,5 \\ 0 & 0 & 0 & 0 \end{bmatrix}$$

i izmnožimo sa vektorom  $P$ , dobijemo, na osnovu jednačine (III. .106) vektor  $M_x$ , odnosno vrednosti momenata savijanja  $M_x$  u tačkama ( $x_0, x_1, x_2, x_3$  i  $x_4$ )

Na Sl. 51 dat je dijagram momenata savijanja  $M_x$  i normalnih sila  $N_e$ . U tački  $x_0$  i  $x_2$  uporedjeni su dobijeni rezultati sa rezultatima dobijenih putem metode konačnih razlika, kao i sa tačnim rešenjem koje je u ovom specijalnom slučaju linearne promene debljine moguće dobiti analitičkim putem.



Presek	0	2
Tačno rešenje KNm/m	41.6	7.2
Prema ovom postupku KNm/m	42.9	7.1
Greška %	3.1	1.4
Dif.metodom pri istoj podeli KNm/m	31.0	6.1
Greška %	25.4	15.3

## TEORIJA SAVIJANJA ROTACIONE LJUSKE PRI ROTACIONO SIMETRIČNOM OPTEREĆENJU

Posmatraćemo najjednostavniji način opterećenja ljudske

$$X=0, \quad Y=Y(\varphi), \quad Z=Z(\varphi),$$

Pod pretpostavkom da i reaktivne sile imaju rotaciono simetričan karakter, presečne sile  $N_{\varphi\varphi}$ ,  $M_{\varphi\varphi}$  i  $T_{\varphi}$  biće jednakе nuli, a ostale presečne sile samo zavisne od koordinate  $\varphi$ .

Za ovu vrstu naprezanja, kao što je to bio slučaj i kod bezmomentne teorije svi meridijani imaju ista pomeranja  $U$  i  $W$ , i posle deformacije ostaju u svojoj ravni jer je komponenta pomeranja  $U$  jednaka nuli.

### 1. Uslovi ravnoteže

Na elemenat ljudske, prikazan na (sl. 52a) deluju presečne sile  $N_{\varphi}$ ,  $N_{\theta}$ ,  $M_{\varphi}$ ,  $M_{\theta}$  i  $T_{\varphi}$  kao i komponente opterećenja  $Y$  i  $Z$ .

Od ukupno šest uslova ravnoteže sila prikazanih na (sl. 52a) samo tri uslova nisu identički jednakima nulama.

To su uslovi ravnoteže projekcija svih sila na pravac tangente meridijalne krive i na pravac normale na srednju površ, kao i suma projekcija svih momenata na pravac tangente na paralelan krug.

U uslov ravnoteže projekcija svih sila na pravac tangente na meridijalnu krivu kroz težište elementa ulazi priraštaj sile  $N_{\varphi} R_{\varphi d\varphi}$ :

$$\frac{d(N_{\varphi} R_{\varphi})}{d\varphi} d\varphi R_{\varphi d\varphi}$$

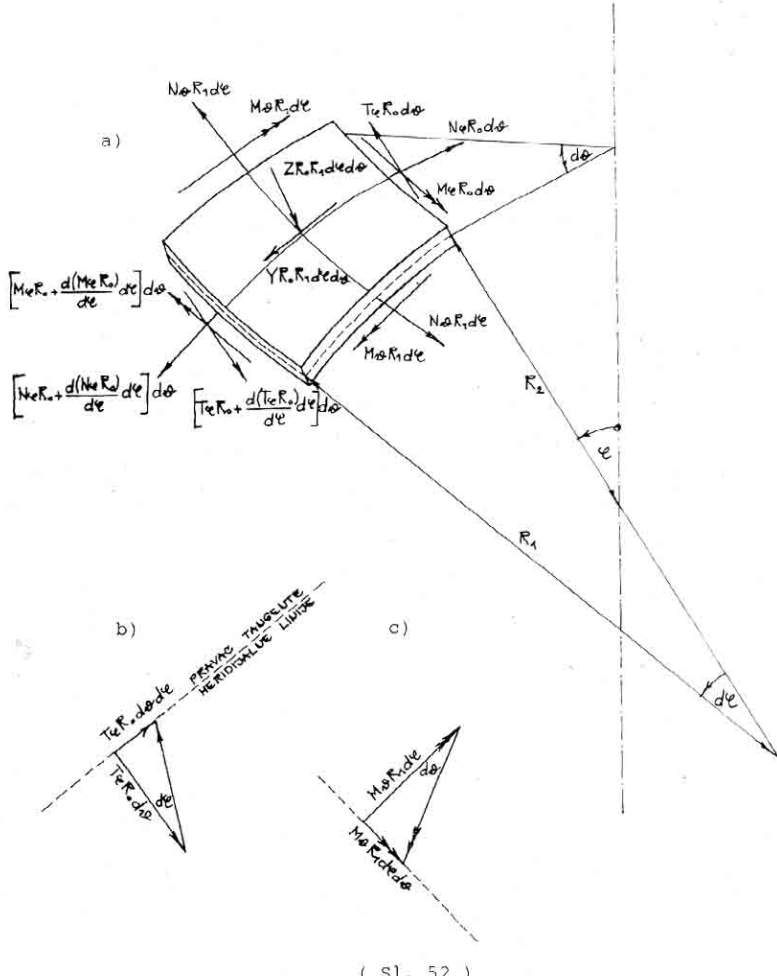
Isto tako će, kao i u slučaju bezmomentne teorije postojati projekcija normalne sile  $N_{\theta d\theta}$ :

$$N_{\theta} c_{\theta} \varphi R_{\theta d\theta} d\varphi$$

I na kraju, transverzalne sile na stranama  $\ell$  i  $\ell + d\ell$  nisu međusobno paralelne i imaju projekciju na pravac tangente na meridijalnu krivu (sl. 52b).

Sabirajući ove projekcije i komponentu opterećenja u pravcu tangente na meridijalnu krivu dobijamo posle deljenja sa  $d\varphi d\sigma$

$$\frac{d(N_\varphi R_0)}{d\varphi} - N_\varphi R_1 \cos \varphi - T_\varphi R_0 + Y R_0 R_1 = 0 \quad (\text{III.108})$$



( Sl. 52 )

Projekcije membranskih sila  $N_{\theta}R_0$  i  $N_{\varphi}R_1$   
na pravac normale iste su kao i u slučaju membranske teorije tj.

$N_{\theta}R_0d\varphi$ ,  $N_{\varphi}R_1 d\varphi$

Dodajući ovim članovima priraštaj transverzalne sile i  
opterećenje dobijamo posle deljenja sa  $d\varphi$

$$N_{\theta}R_0 + N_{\varphi}R_1 \sin \varphi + \frac{d(T\varphi R_0)}{d\varphi} + ZR_0R_1 = 0 \quad (\text{III.109})$$

Treći uslov ravnoteže daje jednačinu (sl. 52c)

$$\frac{d}{d\varphi}(M_{\theta}R_0) - M_{\varphi}R_1 \cos \varphi - T\varphi R_0 R_1 = 0 \quad (\text{III.110})$$

## 2. Deformacija ljudske

Deformacija srednje površi opisuje se na isti način  
kao i u slučaju membranske (bezmomentne) teorije.

Veze između pomeranja i komponenata deformacija  $E\varphi$   
i  $E\vartheta$  date su izrazima:

$$E\varphi = \frac{1}{R_1} \left( \frac{dw}{d\varphi} - w \right) \quad (\text{III.111a,b})$$

$$E\vartheta = \frac{1}{R_2} (v \operatorname{ctg} \varphi - w)$$

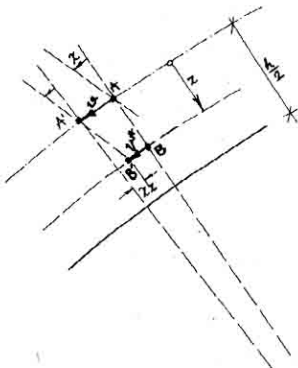
Promena ugla nagiba tangente na meridijalnu krivu  $\chi$   
data je izrazom

$$\chi = \frac{1}{R_1} \left( v + \frac{dw}{d\varphi} \right) \quad (\text{III.112})$$

Komponente deformacija  $E\varphi^*$  i  $E\vartheta^*$  u tačkama izvan srednje  
površi određuju se primenom Kirchhoff-Love-ove pretpostavke o  
upravnosti normale, koju smo definisali na početku izlaganja o  
ljudskama.

Shodno gornjoj prepostavci komponenta pomeranja tač-  
ke  $B$  koja se nalazi na normali povučenoj u tački  $A$  srednje povr-  
ši biće posle deformacije (sl. 53), zanemarujući veličine  $\frac{Z}{R}$   
prema jedinici:

$$v = v - \chi Z \quad (\text{III.113})$$



( Sl. 53 )

Komponenta pomeranja  $w^*$  tačke izvan srednje površi je prema pomenutim pretpostavkama jednaka pomeranju  $w$  odgovarajuće tačke srednje površi.

Na osnovu jednačine (III.111a,b) i unoseći odgovarajući izraz (III.113) za  $v^*$ , dobijamo izraze za komponente deformacija  $E_\varphi^*$  i  $E_\vartheta^*$ .

$$E_\varphi^* = \frac{1}{R_1} \left( \frac{dv^*}{d\varphi} - w^* \right), \quad (\text{III.114a,b})$$

$$E_\vartheta^* = \frac{1}{R_2} (v^* \operatorname{ctg} \varphi - w^*),$$

odnosno, izraženo preko komponenti pomeranja tačaka srednje površi

$$E_\varphi^* = \frac{1}{R_1} \left( \frac{dv}{d\varphi} - w - \frac{d\chi}{d\varphi} z \right), \quad (\text{III.115a,b})$$

$$E_\vartheta^* = \frac{1}{R_2} (v \operatorname{ctg} \varphi - w - \chi z \operatorname{ctg} \varphi).$$

Komponente deformacija  $E_\varphi^*$  i  $E_\vartheta^*$  možemo očigledno izraziti i preko komponenti deformacija srednje površi i promene nagiba tangente na meridijalnu liniju:

$$E\varphi^* = \left( E\varphi - \frac{d\chi}{R_1 d\varphi} z \right)$$

(III.116a,b)

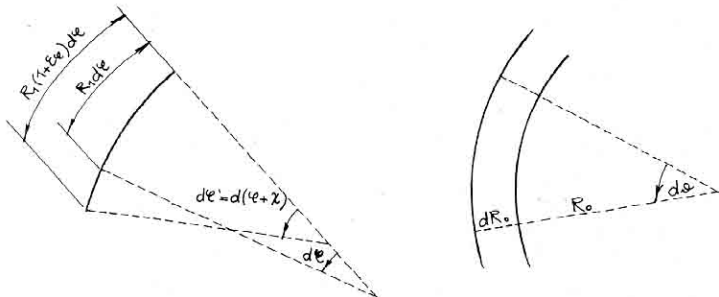
$$E\vartheta = \left( E\vartheta - \frac{\chi z}{R_2} \operatorname{ctg} \varphi \right)$$

Slično kao i kod ploča u izvesnim razmatranjima teorije ljuški uvode se deformacijske veličine kao što su promene poluprečnika krivine  $R_1$  i  $R_2 = R_0 / \sin \varphi$  ili promene krivine koje se definišu kao razlike recipročnih vrednosti odgovarajućih poluprečnika posle i pre deformacije.

Ako sa  $R'_1$  i  $R'_2$  obeležimo poluprečnike krivine posle deformacije onda se ove vrednosti s obzirom na karakter deformacije mogu izraziti na sledeći način (sl. 54 )

$$R'_1 = \frac{R_1(1+E\varphi)d\varphi}{d(\varphi+\chi)}$$

$$R'_2 = \frac{R_0 + dR_0}{\sin(\varphi+\chi)}$$



( sl. 54 )

Promene krivine date su izrazima

$$\Delta\varphi = \frac{1}{R'_1} - \frac{1}{R_1} = \frac{d(\varphi+\chi)}{R_1 d\varphi (1+E\varphi)} - \frac{1}{R_1}$$

(III.117a,b)

$$\Delta\vartheta = \frac{1}{R'_2} - \frac{1}{R_0} = \frac{\sin(\varphi+\chi)}{R_0 + dR_0} - \frac{1}{R_0}$$

zanemarujući veličine  $E\epsilon$  i  $\frac{dR_o}{R_o}$  prema jedinisi i imajući na umu da je za male uglove  $\chi$ :

$$\sin \chi \approx \chi \quad \cos \chi \approx 1$$

dobijamo:

$$x\epsilon = \frac{d(\epsilon + \chi)}{R_1 d\epsilon} - \frac{1}{R_1} = \frac{d\chi}{R_1 d\epsilon} \quad (\text{III.118a,b})$$

$$x_\vartheta = \frac{\sin \epsilon + \chi \cos \epsilon}{R_2 \sin \epsilon} - \frac{1}{R_2} = \frac{\chi}{R_2} \operatorname{ctg} \epsilon$$

Izraze (III.114ab) možemo sada napisati i u obliku

$$E\epsilon^* = E\epsilon - x\epsilon z \quad (\text{III.119a,b})$$

$$E_\vartheta^* = E_\vartheta - x_\vartheta z$$

### 3. Vezu izmedju presečnih sila i deformacije

Primenom Hooke-ovog zakona dobijamo:

$$G\epsilon = \frac{E}{1-\nu^2} (E\epsilon^* + \nu E_\vartheta^*) \quad (\text{III.120a,b})$$

$$G_\vartheta = \frac{E}{1-\nu^2} (E_\vartheta^* + \nu E\epsilon^*)$$

Na osnovu ovih izraza uz korišćenje jednačina (III.110a,b) i (III.119ab) dobijamo za presečne sile  $N\epsilon$   $N_\vartheta$

$$N\epsilon = \frac{Eh}{1-\nu^2} (E\epsilon + \nu E_\vartheta) \quad (\text{III.121a,b})$$

$$N_\vartheta = \frac{Eh}{1-\nu^2} (E_\vartheta + \nu E\epsilon)$$

Unošenjem izraza (III.111a,b i III.112) za  $E\epsilon$ ,  $E_\vartheta$  i  $\chi$  putem po- meranja nalazimo

$$N\epsilon = \frac{Eh}{1-\nu^2} \left[ \frac{1}{R_1} \left( \frac{dw}{de} - w \right) + \frac{\nu}{R_2} (\nu \operatorname{ctg} \epsilon - w) \right] \quad (\text{III.122a})$$

$$N_{\varphi} = \frac{Eh}{1-\nu^2} \left[ \frac{1}{R_2} (v \operatorname{ctg} \varphi - w) + \frac{\nu}{R_1} \left( \frac{du}{d\varphi} - w \right) \right] \quad (\text{III.122b})$$

Momente savijanja  $M_{\varphi}$  i  $M_{\theta}$  možemo sada na osnovu (III.119a;b) i (III.120a,b) izraziti u obliku

$$M_{\varphi} = \int_{-h/2}^{h/2} G_{\varphi} z dz = -K (\partial \varphi + \nu \partial \varphi) \quad (\text{III.123a,b})$$

$$M_{\theta} = \int_{-h/2}^{h/2} G_{\theta} z dz = -K (\partial \theta + \nu \partial \varphi),$$

gde je kao i ranije

$$K = \frac{Eh^3}{12(1-\nu^2)}$$

Preko promene nagiba tangente na meridijalnu liniju  $\chi$  za momente savijanja nalazimo

$$M_{\varphi} = -K \left( \frac{d\chi}{R_1 d\varphi} + \nu \frac{\chi}{R_2} \operatorname{ctg} \varphi \right) \quad (\text{III.124a,b})$$

$$M_{\theta} = -K \left( \frac{\chi}{R_2} \operatorname{ctg} \varphi + \nu \frac{d\chi}{R_1 d\varphi} \right)$$

Sistem jednačina koji smo postavili sastoji se od tri jednačine ravnoteže, četiri veze između presečnih sila i deformacija, tri veze između pomeranja i deformacija, tj. ukupno deset jednačina, i iz njih se mogu odrediti sve nepoznate veličine  $N_{\varphi}$ ,  $N_{\theta}$ ,  $M_{\varphi}$ ,  $M_{\theta}$ ,  $T_{\varphi}$ ,  $E_{\varphi}$ ,  $E_{\theta}$ ,  $\chi$ ,  $v$  i  $w$ .

Za posebne oblike srednje površi rotacione ljsuske traže se mahom približna rešenja ovog složenog zadatka analitičkim ili numeričkim postupcima.

Mi ćemo se u daljem ograničiti na svernu ljsuku i posmatrati poseban slučaj opterećenja: ljsuku opterećenu rotaciono simetričnim opterećenjem po konturi.

Ovaj zadatak ima svoj praktični smisao, jer se kombinacijom ovog rešenja i rešenja prema membranskoj teoriji za rotacioni simetrično opterećenje  $Y$  i  $Z$  dobija rešenje za sfernu kupolu po teoriji savijanja za zadate granične uslove.

#### 4. Sferna kupola opterećena silama po konturi

Kao što smo napomenuli pretpostavimo da je

$$X = Y = Z = 0$$

i dalje, pošto se radi o sfernoj kupoli

$$R_1 = R_2 = a \quad R_o = a \sin \epsilon$$

gde je  $a$  poluprečnik sfere.

Jednačine ravnoteže (III.108,109,110) u ovom specijalnom slučaju glase:

$$\frac{d(Ne \sin \epsilon)}{d\epsilon} - Te \sin \epsilon - Ne \cos \epsilon = 0$$

$$(Ne + N_o) \sin \epsilon + \frac{d(T \sin \epsilon)}{d\epsilon} = 0 \quad (\text{III.125a,b,c})$$

$$\frac{d}{d\epsilon}(Me \sin \epsilon) - Mo \cos \epsilon - Ta \sin \epsilon = 0$$

Cilj daljeg rada je da se pomenuti sistem jednačina eliminacijom nepoznatih svede na što manji broj diferencijalnih jednačina kojima se definiše problem.

Struktura ovih jednačina je takva da put eliminacije koji na kraju dovodi do svega dve diferencijalne jednačine sa dvema nepoznatim funkcijama  $\chi$  i  $T \sin \epsilon$ . Je najprikladniji za analitičko rešenje problema.

Rešenje takvog zadatka u kome se javljaju i deformacije i sile kao nepoznate, obično se naziva mešovitom metodom za razliku od metode sile ili metode deformacije.

Prvu od dve diferencijalne jednačine dobijemo relativno jednostavno. Unesimo izraze (III.124a,b) za momente savijanja u treći uslov ravnoteže (III.125c).

Tada dobijamo:

$$-\frac{K}{a} \left[ \frac{d^2 \chi}{d\epsilon^2} - v(1 + \alpha \epsilon^2) \chi + v \alpha \epsilon \frac{d\chi}{d\epsilon} \right] \sin \epsilon$$

$$-\frac{K}{a} \left[ \frac{d\chi}{de} + v \chi \operatorname{ctg} \varphi - \chi \operatorname{ctg} \varphi - v \frac{d\chi}{de} \right] \operatorname{cose}$$

$$- T \sin \varphi = 0 ,$$

ili posle sredjivanja

$$\frac{d^2\chi}{de^2} + \frac{d\chi}{de} \operatorname{ctg} \varphi - \chi (v + \operatorname{ctg}^2 \varphi) + \frac{a^2}{K} T = 0 . \quad (\text{III.126})$$

za postavljanje druge jednačine put eliminacije je nešto duži. Iskoristimo prva dva uslova ravnoteže na taj način što ćemo prvu jednačinu pomnožiti sa  $\sin \varphi$  a drugu sa  $\cos \varphi$  i sabrati. Tada posle skraćivanja dobijamo:

$$\frac{d(N \sin \varphi)}{de} \sin \varphi + N \cos \varphi \sin \varphi + \frac{d(T \sin \varphi)}{de} \cos \varphi$$

$$- T \sin^2 \varphi = 0$$

odnosno

$$\frac{d(N \sin^2 \varphi)}{de} + d(T \sin \varphi \cos \varphi) = 0 ,$$

iz čega integracijom dobijamo:

$$N \varphi = - T \operatorname{ctg} \varphi . \quad (\text{III.127})$$

Iz drugog uslova ravnoteže dobijamo sada:

$$N \varphi \sin \varphi - T \cos \varphi + \frac{dT}{de} \sin \varphi + T \cos \varphi = 0$$

odnosno

$$N \varphi = - \frac{dT}{de} . \quad (\text{III.128})$$

Veličine  $E \varphi$ ,  $E \varphi$  i  $\chi$  nisu medjusobno nezavisne vrednosti, jer se izražavaju preko dve komponente pomeranja  $v$  i  $w$ .

Veza izmedju ovih veličina predstavlja u izvesnom smislu uslov o poklapanju deformacija, i do njega ćemo doći na sledeći način. Na osnovu jednačina (III.111ab) možemo napisati:

$$(E_\varphi - E_{\vartheta}) \operatorname{ctg} \varphi = \frac{1}{a} \operatorname{ctg} \varphi \left( \frac{dv}{d\vartheta} - v \operatorname{ctg} \varphi \right)$$

$$\frac{dE_\vartheta}{d\vartheta} = \frac{1}{a} \left( \frac{dv}{d\vartheta} \operatorname{ctg} \varphi - \frac{v}{\sin^2 \varphi} - \frac{dw}{d\vartheta} \right),$$

Oduzimanjem druge jednačine od prve nalazimo:

$$(E_\varphi - E_{\vartheta}) \operatorname{ctg} \varphi - \frac{dE_\vartheta}{d\vartheta} = \frac{1}{a} \left( -v \operatorname{ctg}^2 \varphi + \frac{v}{\sin^2 \varphi} - \frac{dw}{d\vartheta} \right) \\ = \frac{1}{a} \left( v + \frac{dw}{d\vartheta} \right),$$

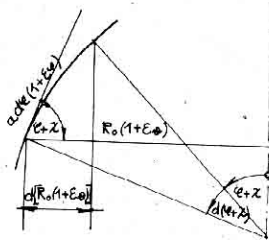
odnosno

$$(E_\varphi - E_{\vartheta}) \operatorname{ctg} \varphi - \frac{dE_\vartheta}{d\vartheta} = \chi. \quad (\text{III.129})$$

Da prethodna jednačina predstavlja uslov kompatibilnosti može se pokazati iz posmatranja deformisanog oblika sferne kupole (sl. 55). Naime dužina elementa  $a d\vartheta$  meridijana koja je posle deformacije jednaka  $a d\vartheta (1+E_\vartheta)$  mora biti u skladu sa novom dužinom poluprečnika  $R_0$  paralelnog kruga.

Iz (sl. 55) proizilazi:

$$a d\vartheta (1+E_\vartheta) \cos(\varphi + \chi) = d[R_0 (1+E_\vartheta)]$$



( Sl. 55 )

i dalje imajući na umu da je

$$\cos \chi \approx 1 \quad \sin \chi \approx \chi$$

dobijamo:

$$a (1+E_\vartheta) (\cos \varphi - \chi \sin \varphi) = \frac{dR_0}{d\vartheta} (1+E_\vartheta) + R_0 \frac{dE_\vartheta}{d\vartheta}.$$

Kako je  $R_o = \alpha s m \epsilon$  dobijamo konačno jednačinu (III.129)

Komponente deformacije  $E_\epsilon$  i  $E_\vartheta$  izrazimo preko Hookeovog zakona:

$$E_\epsilon = \frac{1}{Eh} (N_\epsilon - \nu N_\vartheta)$$

(III.130a,b)

$$E_\vartheta = \frac{1}{Eh} (N_\vartheta - \nu N_\epsilon)$$

pa iz (III.129) dobijamo:

$$Eh\chi = - \frac{dN_\epsilon}{de} + \nu \frac{dN_\vartheta}{de} + (1+\nu)(N_\epsilon - N_\vartheta) \operatorname{ctg} \epsilon \quad (\text{III.131})$$

Unošenjem vrednosti (III.127) i (III.128) za  $N_\epsilon$  i  $N_\vartheta$  putem transverzalne sile  $T$ , dobijamo konačno:

$$\frac{d^2T}{de^2} + \frac{dT}{de} \operatorname{ctg} \epsilon + T(\nu - \operatorname{ctg}^2 \epsilon) = Eh\chi \quad (\text{III.132})$$

Jednačine (III.126) i (III.132) predstavljaju diferencijalne jednačine problema.

Integracija ovih jednačina drugog reda sa promenljivim koeficijentima nije nažalost moguća u zatvorenom obliku. Rešenje ovog zadatka moguće je, posle zamene nepoznatih svesti na hipergeometrijske diferencijalne jednačine i rešiti putem redova. Međutim, ovi redovi su slabo konvergentni, posebno za tanke ljske.

Upotrebljiva rešenja mogu se dobiti uprošćavanjem ovih jednačina odnosno njihovim svodjenjem na dve jednostavne diferencijalne jednačine sa konstantnim koeficijentima.

### 5. Aproksimativno rešenje

Kao što smo već kod cilindrične ljske uočili ivično opterećenje (rotaciono simetričnog karaktera) svodi se na dva ravnotežna sistema, sistem momenata i radikalnih sila od kojih svaki za sebe predstavlja ravnotežni sistem sila. Uticaji izazvani ovim opterećenjem brzo se prigušuju udaljavajući se od opterećene ivice. U vezi sa tim doprinos člana  $\chi$  prema  $\frac{d\chi}{de}$  u jednačini (III.126) je mali, a  $\frac{d\chi}{de}$  isto tako mali prema članu  $\frac{d^2\chi}{de^2}$ , pa se ovi članovi mogu zanemariti u odnosu na član

$\frac{d^2\chi}{d\varphi^2}$  pod predpostavkom da  $\alpha \varphi$  nije suviše veliki odnosno ugao  $\varphi$  suviše mali. Drugim rečima, ova zanemarenja nisu opravdana za plitke ljske ili za ljske sa otvorom u temenu u zoni otvora.

Ako izuzmemmo ove slučajeve jednačinu (III.126) možemo zameniti jednačinom

$$\frac{d^2\chi}{d\varphi^2} + \frac{\alpha^2}{K} T = 0. \quad (\text{III.133})$$

Na sličan način i uz ista obrazloženja možemo jednačinu (III.132) svesti na:

$$\frac{d^2T}{d\varphi^2} - Eh\chi = 0. \quad (\text{III.134})$$

Eliminacijom  $T$  odnosno  $\chi$  dobijamo jednačine:

$$\frac{d^4\chi}{d\varphi^4} + Eh \frac{\alpha^2}{K} \chi = 0, \quad (\text{III.135a,b})$$

$$\frac{d^4T}{d\varphi^4} + Eh \frac{\alpha^2}{K} T = 0.$$

Zadržimo se na rešavanju poslednje jednačine jer, rešenje prethodne je u svemu isto kao i rešenje ove jednačine.

Obeležimo sa  $\lambda$  vrednost

$$\lambda = \sqrt{\frac{\alpha}{h}} \sqrt{3(1-\nu^2)},$$

tada se jednačina (III.135b) može napisati u obliku

$$\frac{d^4T}{d\varphi^4} + 4\lambda^4 T = 0 \quad (\text{III.136})$$

Pretpostavljajući rešenje u obliku

$$T = e^{r\varphi}$$

i unoseći ga u jednačinu dobijamo karakterističnu jednačinu

$$r^4 + 4\lambda^4 = 0$$

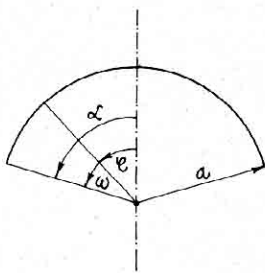
čiji su korenji

$$r_{1,2} = \pm(1+i)\lambda, \quad r_{3,4} = \pm(1-i)\lambda$$

pa je rešenje

$$T = e^{r\varphi} (C_1 \cos \lambda \varphi + C_2 \sin \lambda \varphi) + e^{-r\varphi} (C_3 \cos \lambda \varphi + C_4 \sin \lambda \varphi) \quad (\text{III.137})$$

Očigledno je da prvi deo rešenja prikazuje uticaje koji rastu kada  $\varphi$  raste tj. od temena ka konturi kupole, a drugi deo uticaja koji opadaju sa porastom ugla  $\varphi$  (sl. 56 )



( Sl. 56 )

Imajući na umu činjenicu da svi uticaji izazvani silama na konturi brzo opadaju udaljavajući se od konture, u izrazu (III.137) za  $T$  možemo zadržati samo prvi deo rešenja

$$T = C e^{-\lambda \varphi} (C_1 \cos \lambda \varphi + C_2 \sin \lambda \varphi) \quad (\text{III.138})$$

Za praktičan proračun uticaja izazvanih silama na konturi pogodnije je ako umesto ugla  $\varphi$ , kao nezavisno promenljive uvedemo novu promenljivu  $w = \alpha - \varphi$  (sl. 56 ) gde je  $\alpha$  ugao koji zaklapa normalu u tačkama konture sa osovinom rotacije.

Osim toga ćemo umesto konstanti  $C_1$  i  $C_2$  uvesti konstantu  $C$  i ugaonu konstantu  $\gamma$ , pa dobijamo:

$$T = C e^{-\lambda w} \cos(\lambda w + \gamma) \quad (\text{III.139})$$

Lako je videti da izmedju starih i novih konstanti postoji sledeća zavisnost:

$$C_1 = C e^{-\lambda \alpha} \cos(\lambda \alpha + \gamma) \quad (\text{III.140a,b})$$

$$C_2 = C e^{-\lambda \alpha} \sin(\lambda \alpha + \gamma)$$

Da bi dobili i izraze za presečne sile i  $\chi$  sračunajmo prvo izvode  $\frac{dT}{d\varphi}$  i  $\frac{d^2T}{d\varphi^2}$

$$\frac{dT}{d\varphi} = \chi C e^{-\pi\omega} [\cos(\pi\omega + \psi) + \sin(\pi\omega + \psi)] \\ = \chi \sqrt{2} C e^{-\pi\omega} \sin(\pi\omega + \psi + \frac{\pi}{2}) \quad (\text{III.141a})$$

$$\frac{d^2T}{d\varphi^2} = \chi^2 \sqrt{2} C e^{-\pi\omega} [\sin(\pi\omega + \psi + \frac{\pi}{4}) - \cos(\pi\omega + \psi + \frac{\pi}{4})] \\ = 2\chi^2 e^{-\pi\omega} C \sin(\pi\omega + \psi) \quad (\text{III.141b})$$

Na osnovu jednačine (III.135a) dobijamo:

$$\chi = 2 \frac{\chi^2}{Eh} C e^{-\pi\omega} \sin(\pi\omega + \psi),$$

i dalje

(III.142a,b)

$$\frac{d\chi}{d\varphi} = 2 \frac{\chi^3}{Eh} e^{-\pi\omega} [\sin(\pi\omega + \psi) - \cos(\pi\omega + \psi)] = -2 \frac{\chi^3 \sqrt{2}}{Eh} C e^{-\pi\omega} \cos(\pi\omega + \psi + \frac{\pi}{4})$$

za presečne sile  $N_\varphi$ ,  $N_\vartheta$ ,  $M_\varphi$  i  $M_\vartheta$  nalazimo na osnovu jednačina (III.139, 141a,b, 142a,b)

$$N_\varphi = -C e^{-\pi\omega} \operatorname{ctg}\psi \cos(\pi\omega + \psi)$$

$$N_\vartheta = -\chi \sqrt{2} C e^{-\pi\omega} \sin(\pi\omega + \psi + \frac{\pi}{4}) \quad (\text{III.143a,b,c,d})$$

$$M_\varphi = -\frac{K}{a} \frac{d\chi}{d\varphi} = C \frac{K}{a} \frac{2\chi^3 \sqrt{2}}{Eh} \left( \cos \pi\omega + \psi + \frac{\pi}{4} \right)$$

$$M_\vartheta = -K \frac{\chi}{a} + v M_\varphi$$

odnosno

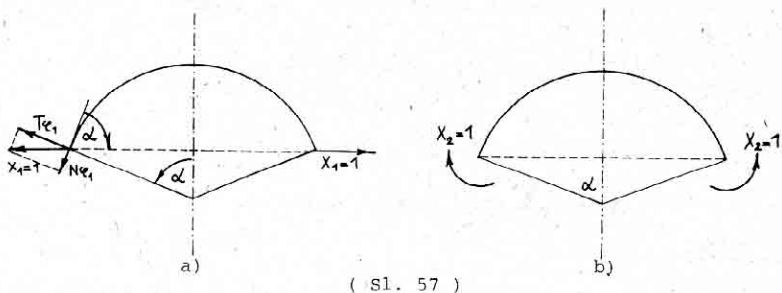
$$M_\varphi = \frac{Ca}{\chi \sqrt{2}} e^{-\pi\omega} \cos(\pi\omega + \psi + \frac{\pi}{4}) \quad (\text{III.144a,b})$$

i

$$M_\vartheta = -\frac{C a \operatorname{ctg}\psi}{2\chi^2} e^{-\pi\omega} \sin(\pi\omega + \psi) + v M_\varphi$$

### 6. Sile na konturi sferne ljsuske

Posmatraćemo sada, slično kao i u slučaju cilindrične ljsuske, opterećenje ljsuske radijalnim silama  $X_1=1$  i momentima  $X_2=1$  duž konture odredjene uglom  $\alpha$  (sl. 57)



za prvi slučaj opterećenja granični uslovi su sledeći:

$$\ell - \alpha : (T_{\ell_1}) = - \sin \alpha$$

$$(N_{\ell_1}) = \cos \alpha$$

$$(M_{\ell_1}) = 0$$

(III.145a,b,c)

Treći uslov daje prema (III.144a)

$$\frac{Ca}{\alpha \sqrt{2}} \cos\left(\gamma + \frac{\pi}{4}\right) = 0$$

odnosno

$$\gamma = \frac{\pi}{4},$$

a iz drugog uslova nalazimo:

$$-C \operatorname{ctg} \alpha \cos \frac{\pi}{4} = \cos \alpha$$

odnosno

$$C = -\sqrt{2} \sin \alpha,$$

Sa nadjenim vrednostima konstanti izrazi za presečne sile za ovu vrstu opterećenja su sledeći:

$$T_1 = -\sqrt{2} \sin \alpha e^{-xw} \cos(\alpha w + \frac{\pi}{4})$$

$$N_{\varphi_1} = \sqrt{2} \sin \alpha e^{-xw} \operatorname{ctg} \psi \cos(\alpha w + \frac{\pi}{4})$$

$$N_{\vartheta_1} = 2 \alpha e^{-xw} \sin \alpha \cos \alpha w \quad (\text{III.146a,b,c,d,e})$$

$$M_{\varphi_1} = \frac{a}{x} e^{-xw} \sin \alpha \sin \alpha w$$

$$M_{\vartheta_1} = \frac{a}{x^2 \sqrt{2}} e^{-xw} \sin \alpha \operatorname{ctg} \psi \sin(\alpha w + \frac{\pi}{4}) + \nu M_{ce}$$

za  $\chi_1$  nalazimo:

$$\chi_1 = -2 \frac{\alpha^2}{Eh} \sqrt{2} e^{-xw} \sin \alpha \sin(\alpha w + \frac{\pi}{4}) \quad (\text{III.147})$$

za  $\psi - \alpha$  promena ugla tangente na meridijalnu liniju iznosi:

$$\chi_1 = -2 \frac{\alpha^2 \sin \alpha}{Eh}$$

Osim ove vrednosti za rešavanje graničnih uslova, i određivanje vrednosti nepoznatih statičkih veličina  $\chi_1$  i  $\chi_2$  treba odrediti promenu dužine poluprečnika  $R_o$  na konturi:

$$(\Delta R_o) = E_{\vartheta_1} R_o = 2 \frac{\alpha R_o}{Eh} \sin \alpha, \quad (\text{III.148})$$

pri čemu je i ovde zanemarena vrednost  $T$  u odnosu na  $\frac{dT}{d\varphi}$ .

za drugi slučaj opterećenja imamo:

$$\psi = \alpha: \quad (N_{\varphi}) = -C \operatorname{ctg} \alpha \cos \psi = 0$$

$$(T) = C \cos \psi = 0$$

(III.149a,b)

iz čega proizilazi da je:

$$\psi = \frac{\pi}{2},$$

i dalje:

$$(M_{\varphi}) = \frac{Ca}{\sqrt{2}} \cos \frac{3}{4}\pi = 1,$$

odnosno

$$C = -\frac{2x}{a}.$$

Za presečne sile dobijamo:

$$T_2 = \frac{2x}{a} e^{-\pi\omega} \sin \pi\omega$$

$$N_{\varphi_2} = -\frac{2x}{a} e^{-\pi\omega} \operatorname{ctg} \varphi \sin \pi\omega$$

$$N_{\vartheta_2} = \frac{2x^2}{a} e^{-\pi\omega} (\cos \pi\omega - \sin \pi\omega) \quad (\text{III.150a,b,c,d,e})$$

$$M_{\varphi_2} = e^{-\pi\omega} (\sin \pi\omega + \cos \pi\omega)$$

$$M_{\vartheta_2} = \frac{e^{-\pi\omega}}{x} \operatorname{ctg} \varphi \cos \pi\omega + v M_{\varphi_2}.$$

Promena nagiba tangente na meridijalnu liniju iznosi:

$$\chi_2 = -\frac{a}{Kx} e^{-\pi\omega} \cos \pi\omega. \quad (\text{III.151})$$

za  $\vartheta = \alpha$  dobijamo

$$\chi_2 = -\frac{a}{Kx}.$$

Povećanje poluprečnika  $R_o$  iznosi:

$$(\Delta R_{o2}) = E_{\vartheta_2} R_o = 2 \frac{x^2 \sin \alpha}{Eh}. \quad (\text{III.152})$$

7. Primer proračuna sferne ljsuske sa prstenom oslonjene po celoj konturi

Sferna ljsuska sa sledećim podacima  $R_0(4\pi d) = 20$ ,  $h = 0,06$  m (Sl. 58) i  $\alpha = 45^\circ$  opterećena je stalnim i korisnim rotaciono-simetričnim teretom

$$q = g + p = 2,5 \text{ kN/m}^2$$

Dimenzije prstena su:

$$b = 0,6 \text{ m}$$

$$d = 0,6 \text{ m}$$

Poluprečnik sfere je:

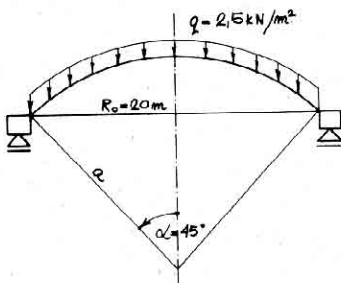
$$\alpha = \frac{R_0}{\sin \alpha} = 28,28$$

Usvaja se:

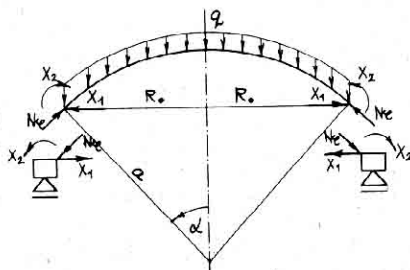
$$E = 3,0 \cdot 10^7 \text{ kN/m}^2 \quad i \quad \nu = 0, pa je$$

$$\alpha = \sqrt{\frac{\alpha}{h}} \sqrt{3(1-\nu^2)} = 28,572$$

Rešenje zadatka nalazimo dekompozicijom sistema na sfernu ljsusku i prsten. U osnovnom sistemu na ljsusku oslonjenju u pravcu tangente na meridijalnu krvu deluje zadato opterećeње  $q$  i nepoznate sile (u generalisanom smislu):  $X_1$  i  $X_2$  (Sl. 59)



( Sl. 58 )



( Sl. 59 )

Prsten napadaju aktivna sila  $N_g$  i nepoznate sile  $X_1$  i  $X_2$  suprotnog smera (Sl. 59) u odnosu na odgovarajuće sile koje deluju na ljudsku.

Rešenje zadatka nalazimo postavljanjem uslova kompatibilnosti odgovarajućih generalisanih pomeranja za ljudsku i prsten:

$$\delta_{11} X_1 + \delta_{12} X_2 + \delta_{10} = 0$$

$$\delta_{21} X_1 + \delta_{22} X_2 + \delta_{20} = 0$$

gde, kao i u statici linijskih nosača  $\delta_{ij}$  predstavlja pomeranje u pravcu sile  $X_i$  usled dejstva sile  $X_j=1$ , a  $\delta_{i0}$  odgovarajuće pomeranje usled zadatog opterećenja. Pri tome u  $\delta_{ij}$  ulazi pomeranje ljudske i prstena. Pomeranje je pozitivno ako se dešava u smeru usvojenom za silu  $X_i=1$ .

Tako nalazimo na osnovu prethodne tačke (Sl. 57a) usled  $X_1=1$ :

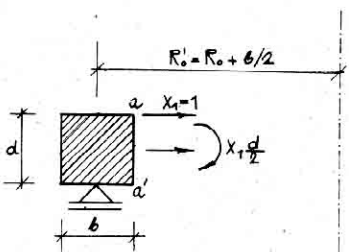
$$E\delta_{11}^I = 2 \frac{X R_o}{h} \sin d = 13469,031$$

$$E\delta_{21}^I = 2 \frac{X^2 \sin d}{h} = 19241,860$$

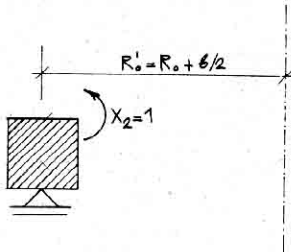
gde su sa indeksom  $I$  obeležene vrednosti koje se odnose na ljudsku.

Redukcijom sile  $X_1=1$  na težište (Sl. 60) preseka prstena dobijamo kao opterećenje prstena silu  $X_1=1$  i jednakog podeljeni spoljni momenat

$$M_* = -X_1 \frac{d}{2} = -\frac{d}{2}$$



( Sl. 60 )



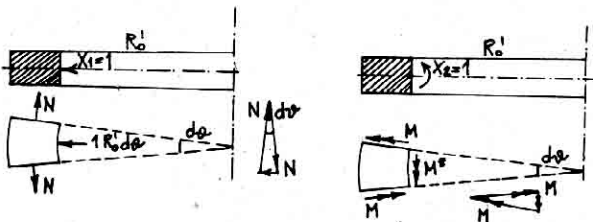
( Sl. 61 )

Iz uslova ravnoteže elementa prstena (Sl. 62):

$$Nd\vartheta + R'_d d\vartheta = 0, \quad M d\vartheta - M_* R'_d d\vartheta = 0,$$

nalazimo normalnu silu i momenat savijanja prstena

$$N = -R'_d, \quad M = M_* R'_d = -R'_d \frac{d}{2},$$



( Sl. 62 )

Dilatacije gornjeg ivičnog vlakna prstena data je izrazom

$$\varepsilon_a = \frac{N}{EF} - \frac{M}{J} \frac{d}{2}, \quad J = \frac{bd^3}{12}$$

odnosno

$$EE_a = -\frac{1}{bd} R'_d - \frac{3}{bd} R'_d = -\frac{4}{bd} R'_d.$$

Za pomeranje  $E\delta_{II}^{\bar{I}}$  tačke a prstena dobijamo konačno, imajući na umu usvojeni smer za silu  $X_1 = 1$ , promenu dužine poluprečnika  $R_o$

$$E\delta_{II}^{\bar{I}} = -R'_d E_a = \frac{4}{bd} R_o'^2$$

odnosno

$$E\delta_{II}^{\bar{I}} = \frac{4 \times 20,30^2}{0,60^2} = 4578,780$$

Obrtanje poprečnog preseka dobijamo kao razliku između pomerenja tačaka a i a' podeljenu sa visinom preseka d:

$$E_{21}^{\bar{I}} = -\frac{6}{bd^2} R_o'^2 = -\frac{6 \times 20,30^2}{0,6^3} = -11446,940$$

Treba primetiti da je ovo obrtanje suprotno smislu obrtanja momenta  $X_2 = 1$  i zbog toga je negativno.

Usled dejstva momenta  $X_2 = 1$  nalazimo na osnovu pret-hodne tačke (sl. 57b)

$$E\delta_{12}^I = 2 \frac{\chi^2 \sin \alpha}{h} = 19241,860$$

$$E\delta_{22}^I = \frac{a}{K\chi} = \frac{12a}{h^3 \chi} = 54987,790 .$$

Za prsten dobijamo (sl. 61)

$$E\delta_{12}^I = - \frac{6R_o^2}{bd^2} = - 11446,940$$

$$E\delta_{22}^I = \frac{12R_o^2}{bd^3} = 38156,480$$

Vrednosti  $\delta_{10}^I$  i  $\delta_{20}^I$  nalazimo iz rešenja prema bezmomentnoj teoriji (vidi tabelu I).

$$E\delta_{10}^I = E\Delta R_o = - \frac{a^2 q \sin \alpha}{h} \left( \cos \alpha - \frac{1}{1 + \cos \alpha} \right) = - 2858,800$$

$$E\delta_{20}^I = E\chi_o = - \frac{aq}{h} 2 \sin \alpha = - 1666,42 .$$

Za prsten nalazimo

$$N_y = - \frac{qa}{1 - \cos \alpha} = - 41,420 ,$$

i dalje

$$E\delta_{10}^{II} = E\Delta R_o = \frac{N_y \cos \alpha R_o^2}{bd} = - 33526,380 ,$$

dok je

$$E\delta_{20}^{II} = 0 .$$

Sabiranjem  $\delta_{ij}^I + \delta_{ij}^{II} = \delta_{ij}$  dobijamo:

$$E\delta_{11} = 18,047 \times 10^3 \quad E\delta_{12} = 7,794 \times 10^3 \quad E\delta_{22} = 93,144 \times 10^3$$

$$E\delta_{10} = -36,385 \times 10^3 \quad E\delta_{20} = 1,666 \times 10^3$$

i uslovne jednačine

$X_1$	$X_2$	$\delta_{10}$	
18,047	7,794	-36,385	$10^3/E$
7,794	93,144	-1,666	$10^3/E$

Rešenjem nalazimo:

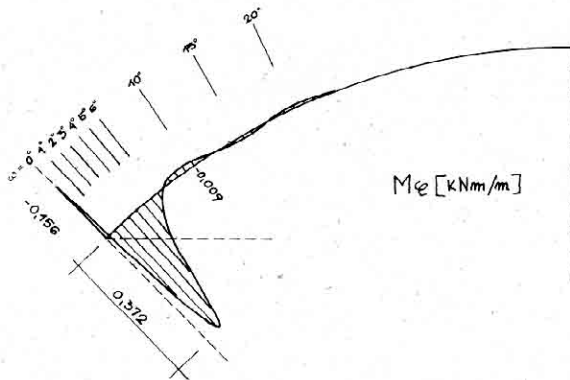
$$X_1 = 2,084 \text{ kN/m}' \quad X_2 = -0,1565 \text{ kNm/m}'$$

Superpozicijom dobijamo bilo koji uticaj  $Z_m$  u ljudski

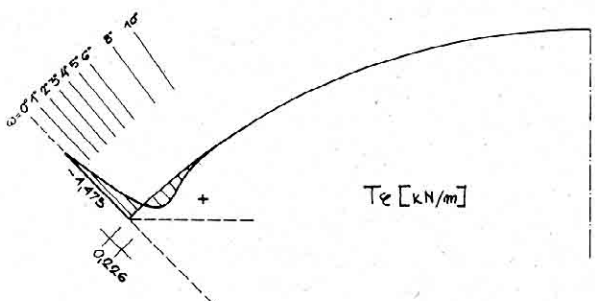
$$Z_m = Z_{m1} X_1 + Z_{m2} X_2 + Z_{mo},$$

gde je  $Z_{mj}$  odgovarajući uticaj za  $X_j = 1$ , a  $Z_{mo}$  uticaj u osnovnom sistemu.

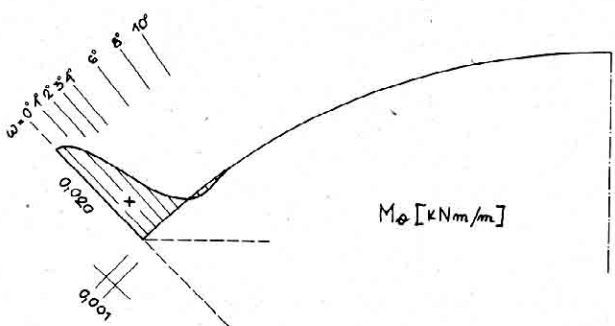
Na Sl. 63 dati su dijagrami  $N_y, N_g, T_y, M_y$  i  $M_g$  za analiziranu ljudsku:



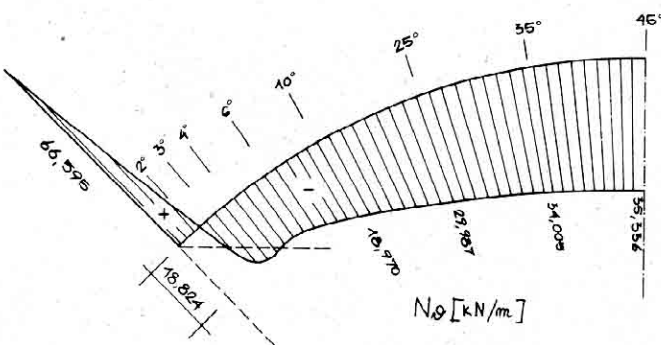
( Sl. 63a )



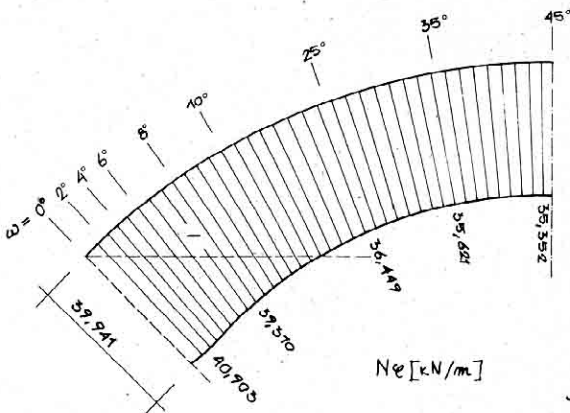
( Sl. 63b )



( Sl. 63c )



( Sl. 63d )



( Sl. 63e )